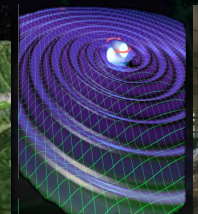
重力波望遠鏡KAGRA が切り拓く天文学

安東 正樹 (東京大学 物理学専攻/国立天文台)















大型低温重力波望遠鏡





大型低温重力波望遠鏡

かぐら (KAGRA)

岐阜県・神岡で建設中の 次世代重力波検出器 (本格観測 2017年-)



重力波天文学の創成



- ・重力波による天文学
- 重力波望遠鏡
- ・KAGRAの概要・現状



重力波による天文学???



重力波



一般相対性理論

→ 重力を時空の性質と解釈

"Mass tells space-time how to curve, and space-time tells mass how to move."



From presentation by Laura Cadonati

物質の変動, 形状の変化

- → 重力場の変動
- → '時空のさざなみ'として伝播



重力波

電磁波と重力波



電磁波

J.C. Maxwel

- 光速で伝播する電磁場の変動
- 電磁気学: マクスウェル方程式の波動解
- 電荷の加速度運動により生成
- 物質による 吸収, 散乱

重力波

A. Einstein

- 光速で伝播する時空の歪み
- 一般相対性理論: アインシュタイン方程式の波動解
- 質量の加速度運動により生成
- 物質に対して強い透過力

重力波による天文学



重力波の特徴

- ・質量の加速度運動から放射
- ・物質に対して 強い透過力



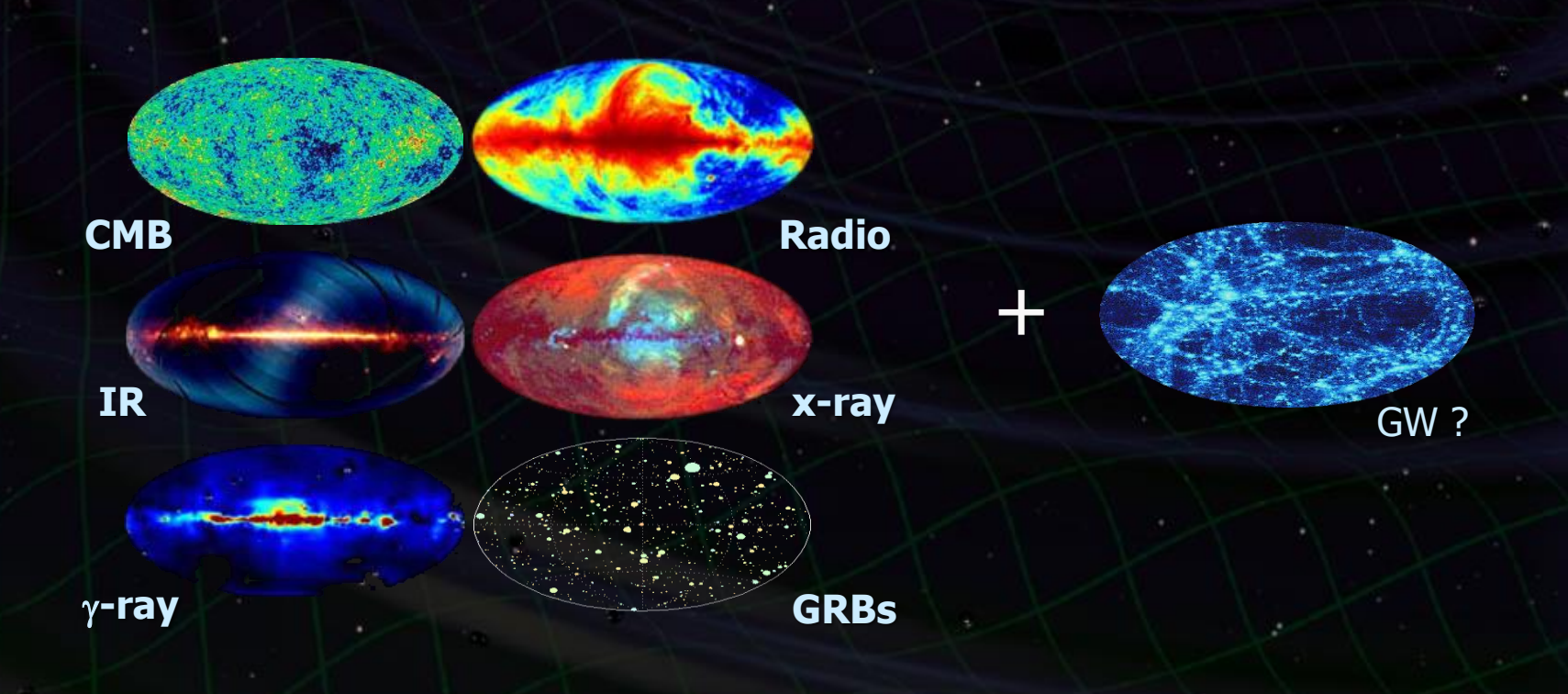
宇宙を観測する新しい手段

- ・電磁波と相補的・独立な観測
- ・電磁波などでは見ることの出来ない現象 (初期宇宙, 高エネルギー天体現象の内部)

重力波による天文学



宇宙を観測する新しい手段 → 新しい発見!!!



重力波で宇宙を探る



宇宙線による観測

ニュートリノ 高エネルギー 宇宙線

電磁波による観測

ガンマ線 ※線 可視光 赤外線 電波

原子核理論

高密度物体の物理

一般相対性理論

強い重力場における 相対性理論

天文学

星形成 恒星進化 銀河

惑星

超新星爆発 ブラックホール

ガンマ線バースト

フラックホール 巨大ブラックホール 重力波による観測

連星合体現象 超新星爆発 パルサー 高周波数 重力波 低周波数 重力波

宇宙背景 放射

さまざまな

天体現象

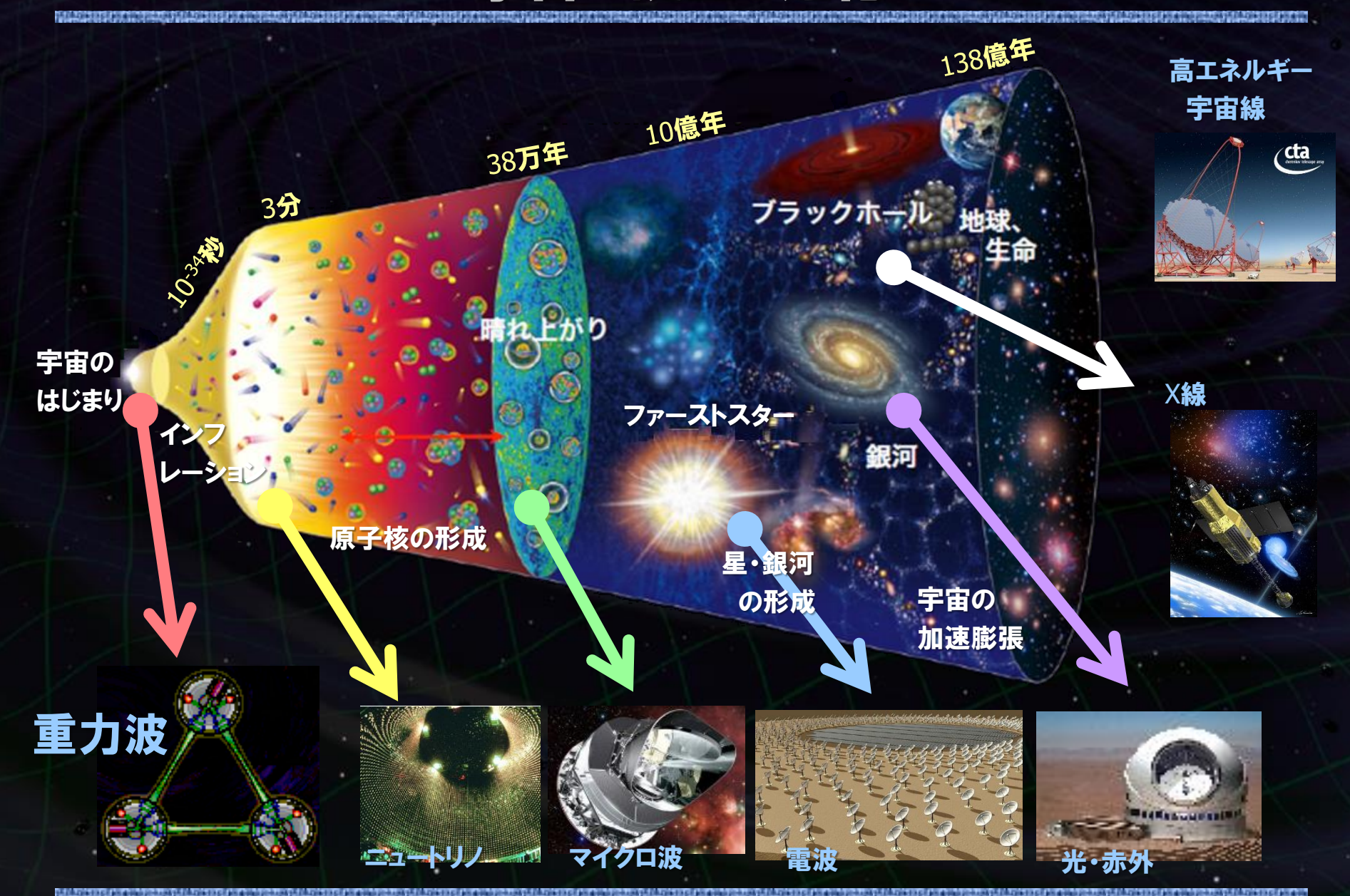
宇宙論

インフレーション ダークマター ダークエネルギー 背景重力波

背景画: NASA/WMAP Science Team

宇宙の誕生と進化







- … しかし、重力波はまだ捕まっていない、
 - ⇒物理学・天文学の新たなフロンティア

- ・天文学:宇宙を調べる新しい手段.
- ・宇宙論:初期宇宙の直接観測. > 宇宙の誕生と進化.
- ・物理学:相対論検証,極限状態の物理.
 - → 究極の物理法則.



耳をすます!!!

- 重力波望遠鏡 -



電磁波と重力波



電磁波

- 光速で伝播する <u>電磁場</u>の変動



- 電荷の加速度運動により生成
- 物質による 吸収, 散乱



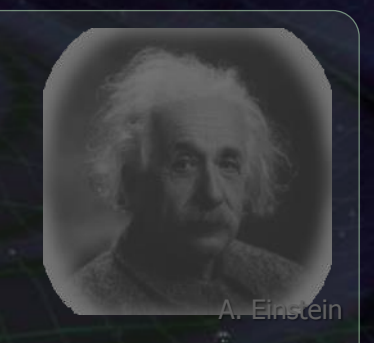
波源の各所から放射

→ 画像として観測.



重力波

- 光速で伝播する <u>時空の歪み</u>



- 質量の加速度運動により生成
- 物質に対して強い透過力



波源全体の運動から放射

→ 時系列変動 として観測.



重力波の効果



重力波

重力波の効果

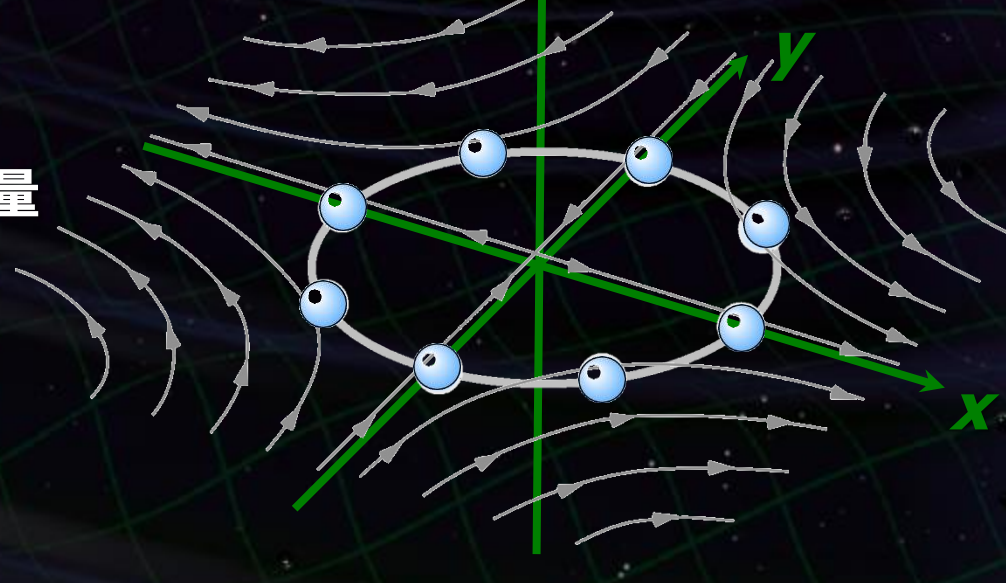
- 自由質点間の距離の変化
- 大きさを持った物体への潮汐力

重力波の振幅 //:無次元の歪み量

 $h \sim \delta L/L$

 δL :距離変動

L:2点間の距離



h=10⁻²¹ → 1m**の距離が**10⁻²¹m 伸縮.

重力波の効果

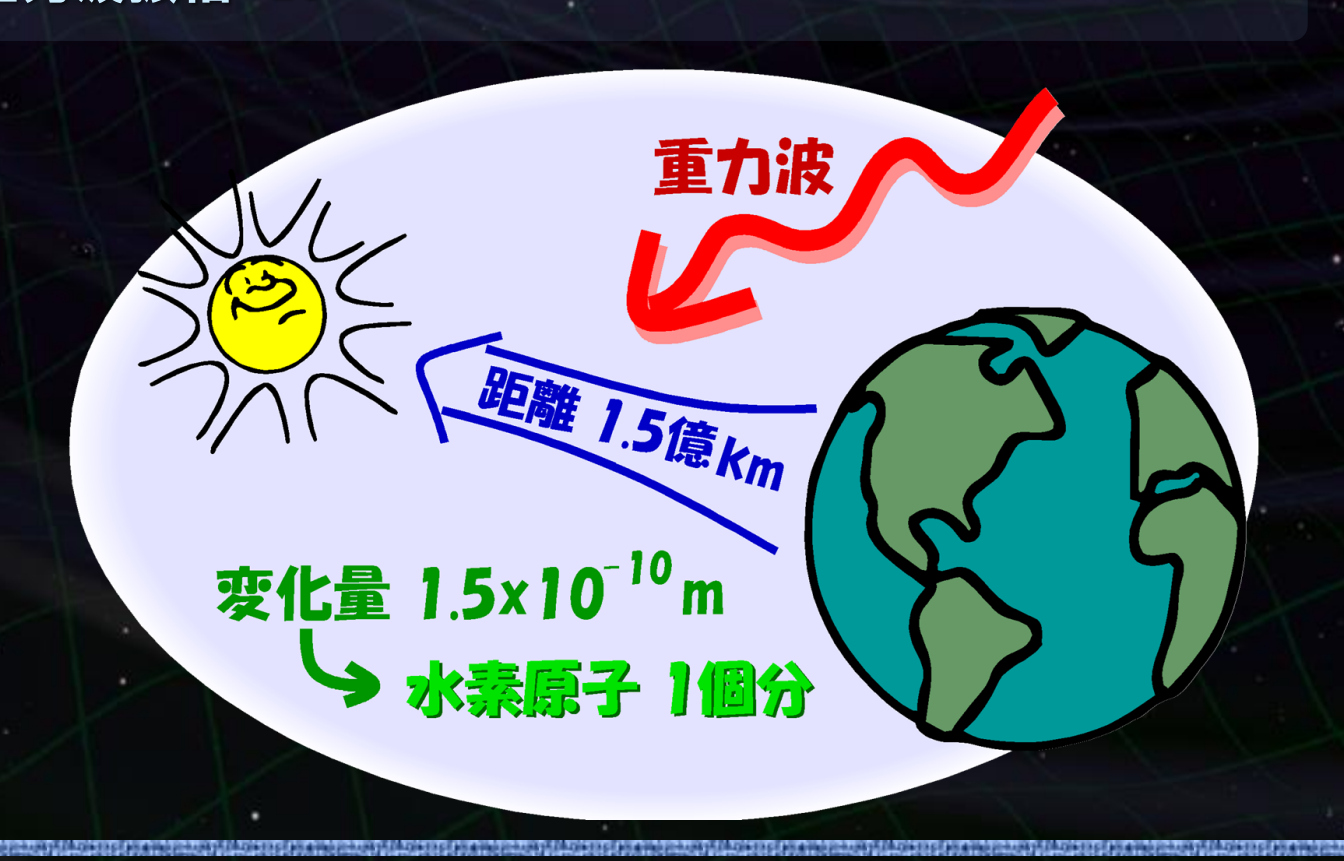


(例) 地球-太陽間の距離変動

距離 1.5x10¹¹ m **重力波振幅** 10⁻²¹



1.5 x 10⁻¹⁰ m の距離変動



レーザー干渉計型重力波検出器



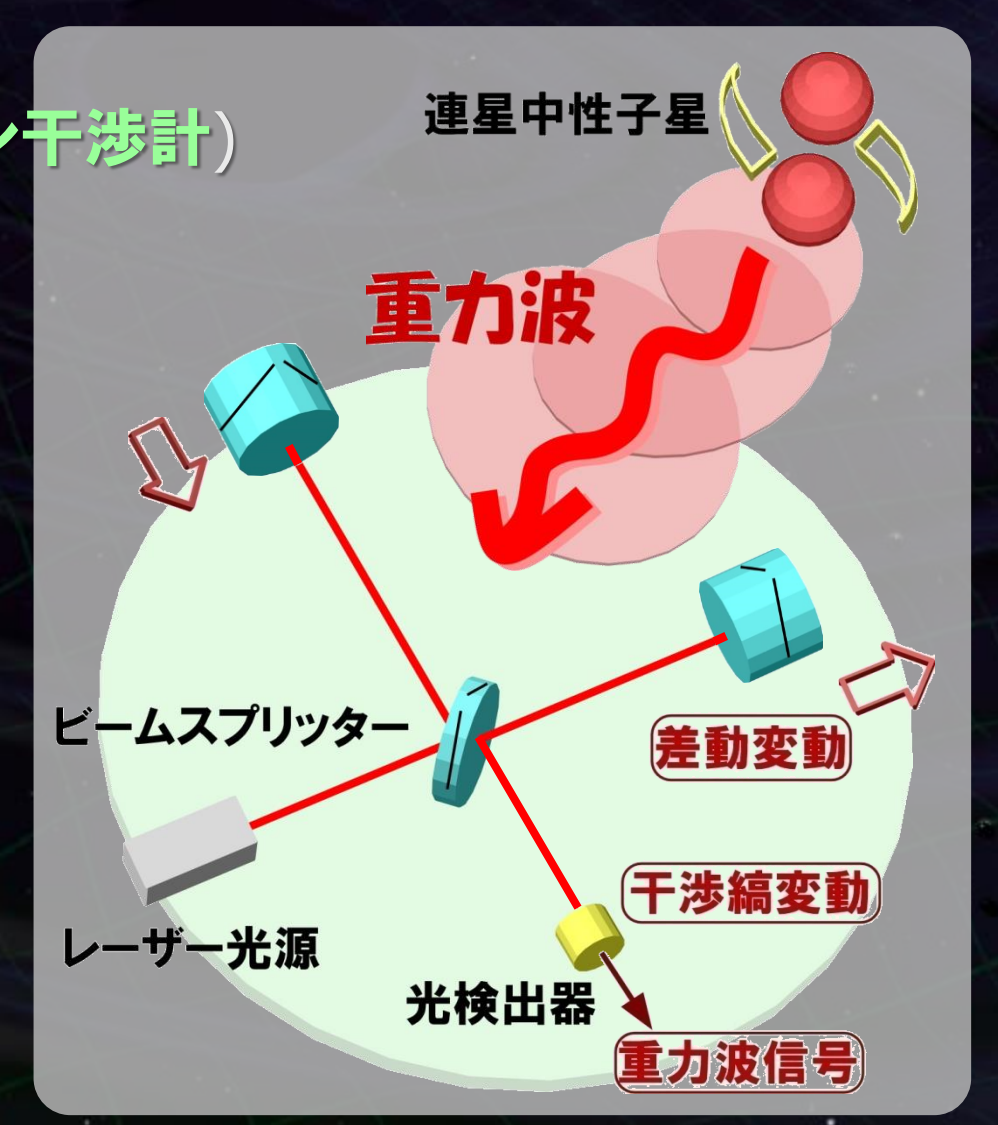
レーザー干渉計(マイケルソン干渉計)

- レーザー光源からの光を 直交する2方向に分岐.
- 懸架された鏡で打ち返し干渉.
- 光検出器で観測.

重力波が入射



腕の長さの差動変動を 干渉光量の変動として検出



第1世代 重力波検出器



検出の試み: 1960年代より行われる

2000年前後より、大型干渉計型検出器が観測を開始

レーザー干渉計型:5台,共振型検出器:3台









■ 国際的観測ネットワーク: 1年を超える観測データ → 科学的成果 (上限値, 理論モデルへの制約など)

連星中性子星合体イベント: 50kpc~20Mpcの観測レンジ → 我々の銀河, 近傍銀河でイベントがあれば検出可能

TAMA300 と CLIO



TAMA300 (1995~)

基線長300mの 重力波検出器

銀河系内を見渡せる感度 (世界最高感度 2000-2002年) 他の干渉計に先駆けた観測運転 (3000時間を超える観測データ)

Ando+, PRL 86, 3950 (2001)



CLIO (2002~)

基線長100mの

低温・地下レーザー干渉計

地下環境を生かした安定な動作 20K以下の低温での動作

→ 冷却による感度向上を確認

Uchiyama+, PRL 108, 141101 (2012)



本格的な天文学



ただ… 第1世代干渉計で検出できるような **重力波イベントは稀** (10⁻⁴-10⁻² event/yr)

⇒ 約1桁感度を向上した 第2世代の重力波望遠鏡

高感度化→より多くの銀河をカバーする

(重力波の振幅) ∝ 1/(波源までの距離)

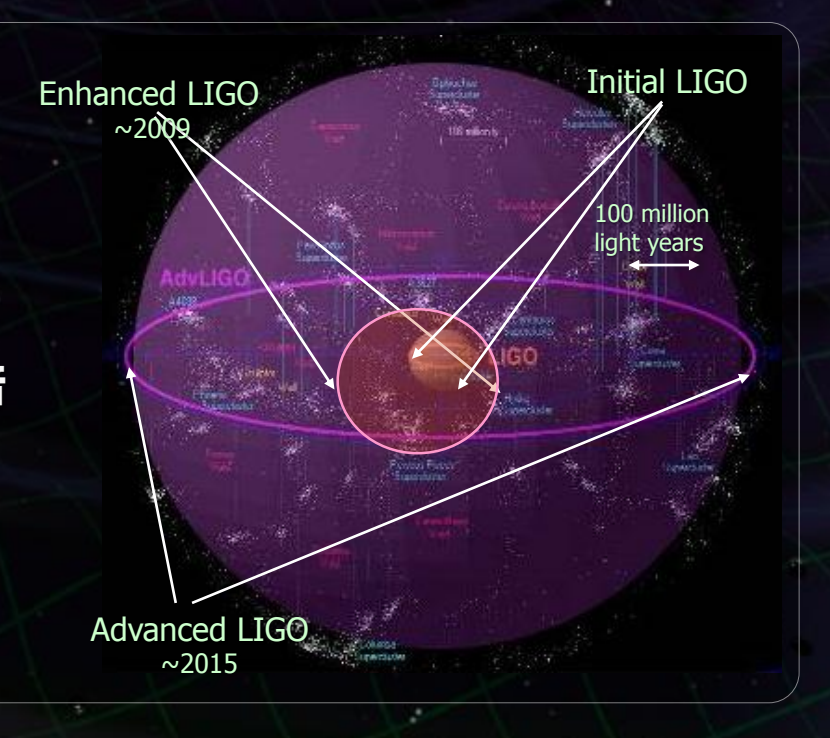


感度が10倍向上 → イベントレートは 103倍

得られるサイエンス

Initial LIGO 1年間の観測

~ Advanced LIGO 9時間の観測



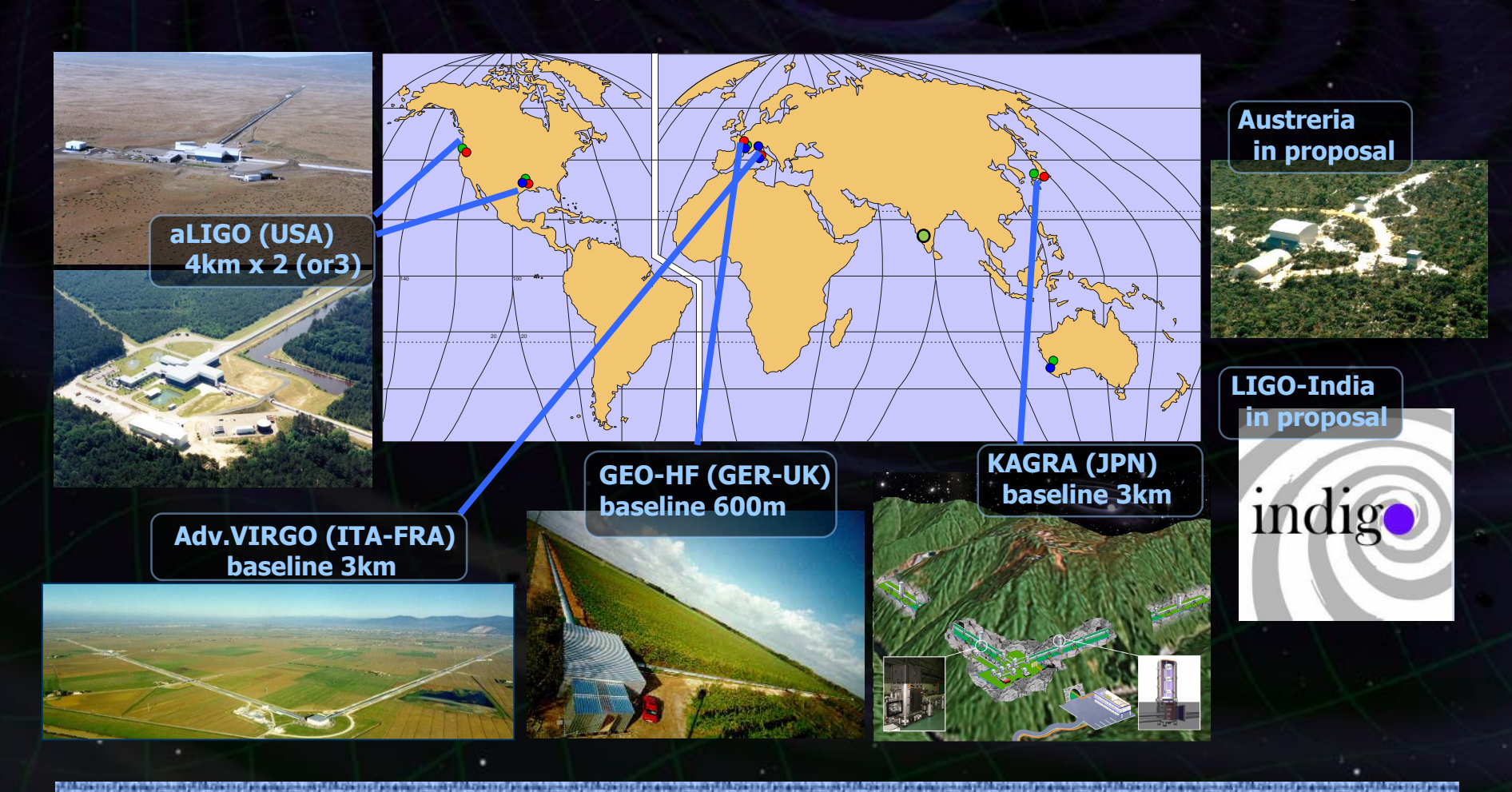
第2世代望遠鏡では、検出頻度 ~ 10 event/year

第2世代 重力波望遠鏡



国際観測ネットワークが形成される (現在から約5年後)

→ 重力波天文学 (重力波の検出, 位置, 物理情報, ...)

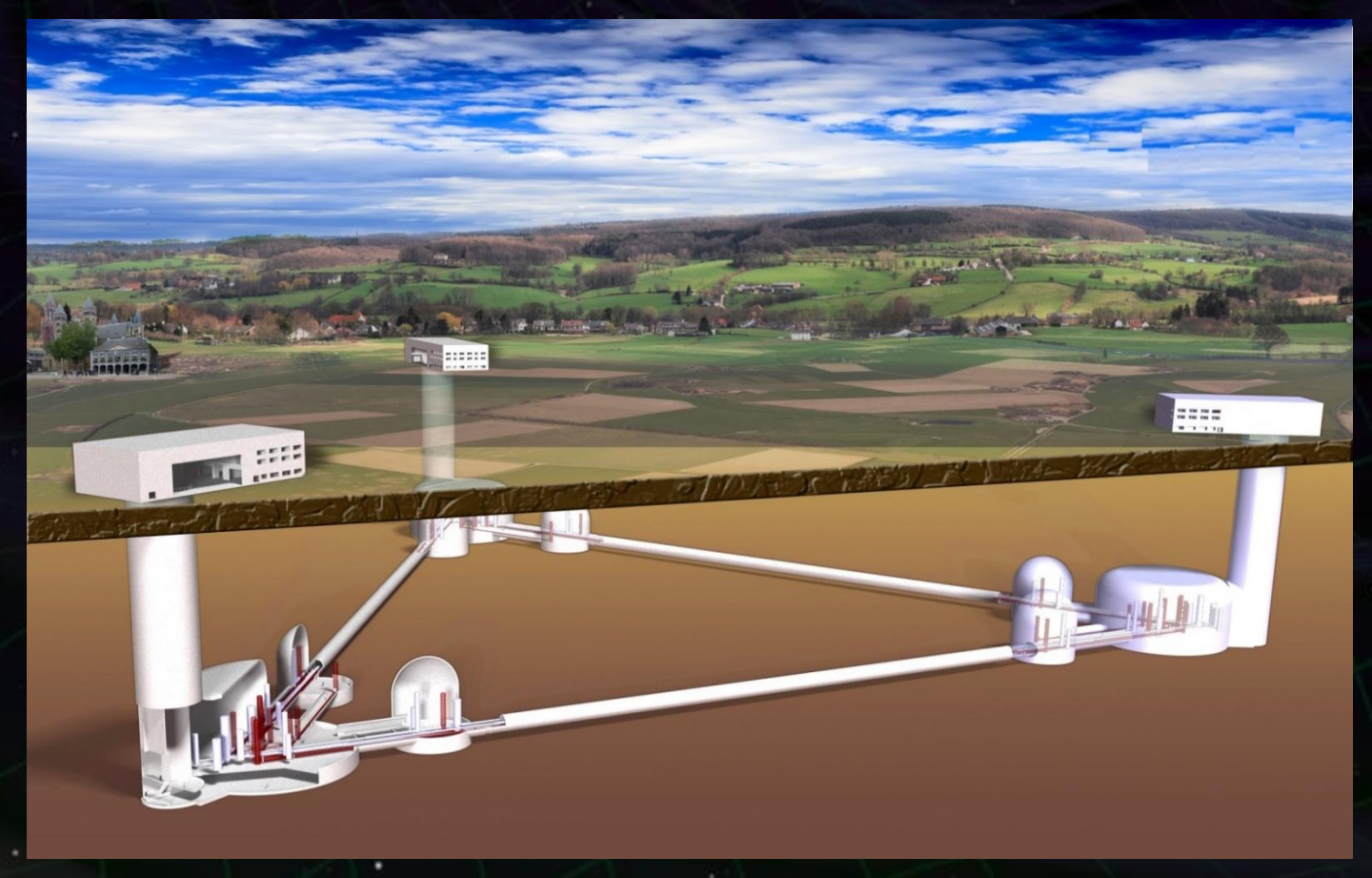


第3世代 重力波望遠鏡



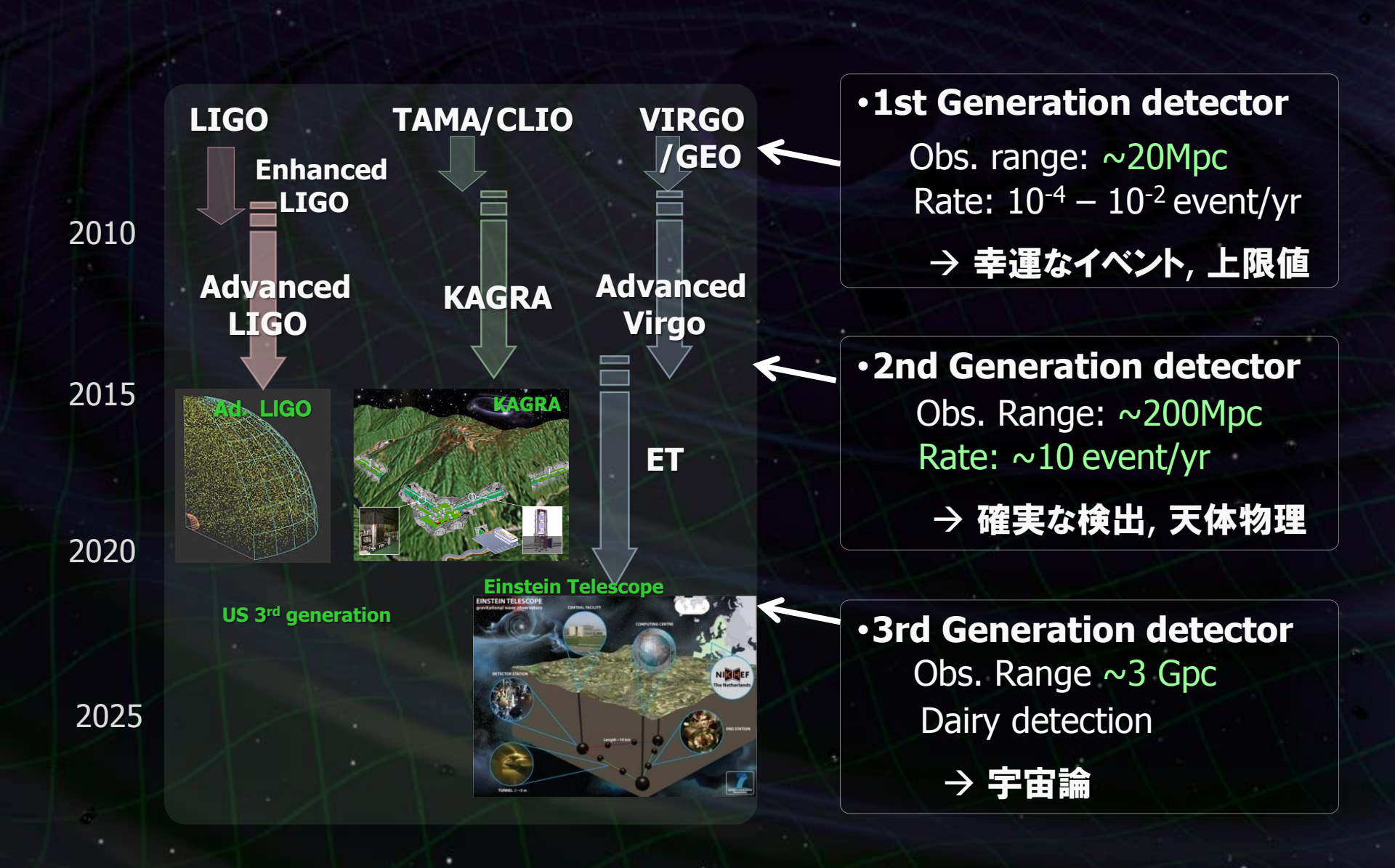
第3世代望遠鏡: ET (Einstein Telescope)

さらに一桁の感度向上, 2026年頃観測開始. 長基線長~10km, 地下サイトに建設, 低温干渉計



地上重力波望遠鏡のロードマップ







KAGRA (かぐら)

- 大型低温重力波望遠鏡 -



大型低温重力波望遠鏡 KAGRA



基線長3kmの大型干渉計

2017年頃本格的な観測開始 > 重力波天文学の創成.

低温技術·地下干渉計

→ 次世代干渉計技術.



・ホスト機関:

東京大学 宇宙線研究所

・副ホスト機関:

国立天文台 高エネルギー加速器研究機構

・国内外の研究機関

東京大理・工・地震研, 大阪市大,東工大,大阪大,京都大,産業技術総合研究所, 情報通信研究機構,電気通信 大,山梨英和大など.



·約1年前、大型低温重力波望遠鏡 LCGT

(<u>Large Cryogenic Gravitational-wave Telescope</u>)

に愛称がつきました.

かぐら KAGRA

- かぐら (神楽): 神に奉げる歌や踊り.
- Acronymではないが、

KA (Kamioka)

+ GRA (Gravitational Wave Antenna)

の意味合いもある.



重力波望遠鏡の高感度化

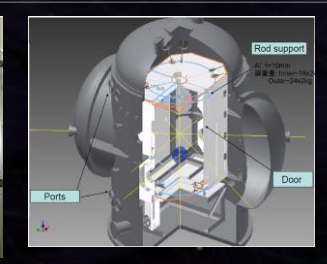


・重力波源の理解 理論・解析的計算 数値相対論 データ解析手法



鏡・振り子の熱雑音鏡・振り子の低温化 材質の機械損失

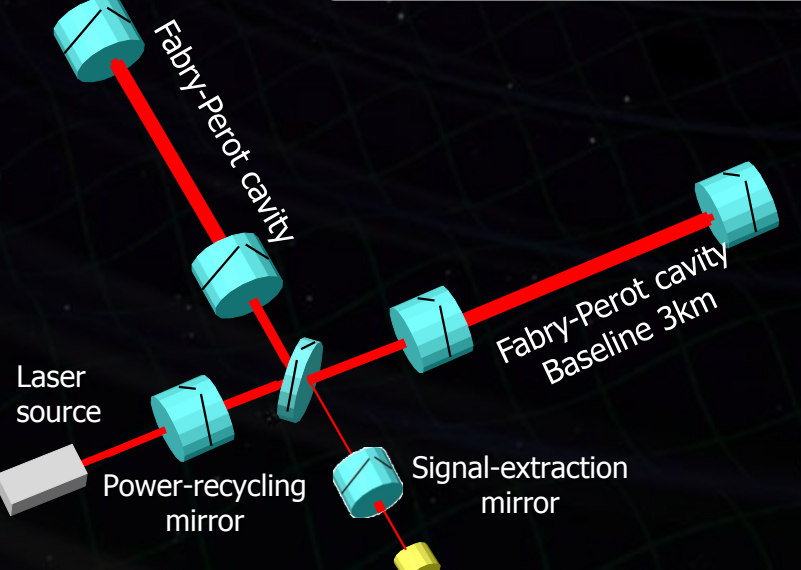




・地面振動の影響 静寂な地下サイト 高性能防振装置







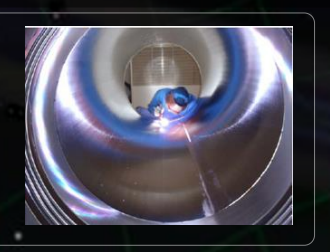
・光の量子雑音

大型干渉計 干渉計方式の工夫 高出力レーザー光源 高性能鏡





・真空システム 光路長の揺らぎ 音響雑音などの低減



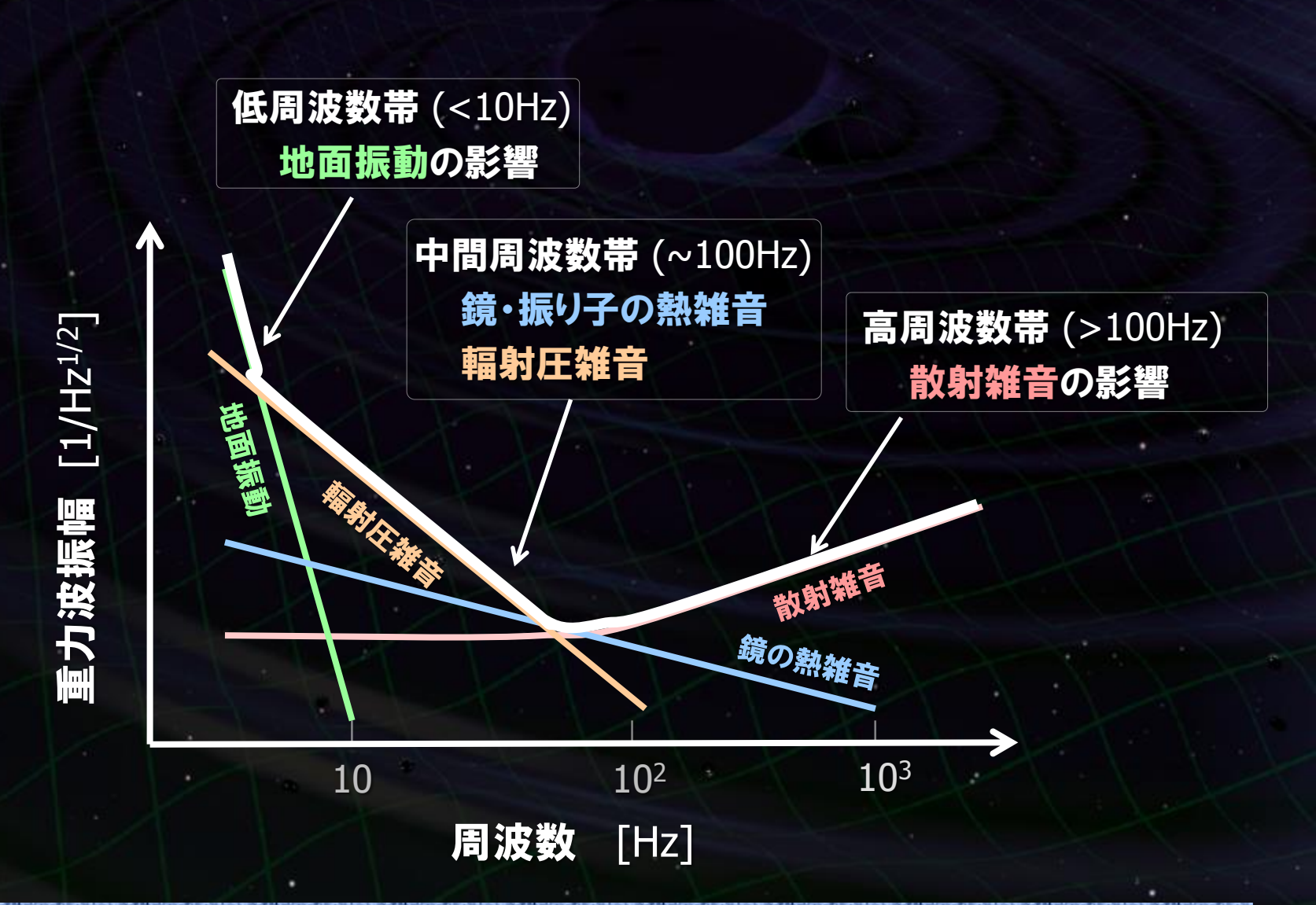
·長期·連続観測

デジタル制御・データ取得系環境モニタ、データ保管・分配



重力波検出器の感度





光の量子雑音



・光の量子雑音 --- 干渉計における原理的な雑音

- 散射雑音 (Shot Noise) 光検出時の光子数計数誤差

$$h_{
m shot} \propto 1/\sqrt{P}$$

- 輻射圧雑音 (Radiation Pressure Noise) 鏡での反射時の光子反跳雑音

$$h_{\mathsf{RPN}} \propto \sqrt{P}$$

P:干渉計入射光パワー

標準量子限界 (Standard Quantum Limit)

$$h_{
m SQL} \propto rac{1}{\sqrt{M~L^2}} \left[egin{array}{c} M: 鏡の質量 \ L: 基線長 \end{array}
ight]$$
 長い干渉計基線長 大質量鏡



KAGRA: 大型·大光量干渉計

基線長 3km, 鏡質量 22kg, 干渉計内光パワー ~400kW

熱雑音の低減



・熱雑音 --- 干渉計の原理的雑音

干渉計の構成コンポーネントに 機械損失 → 揺動力 (揺動散逸定理)

- 鏡の熱雑音 : 鏡基材, コーティング面などでの損失.

- 振り子の熱雑音:鏡の懸架ワイヤ等での損失.

熱維音

Thermal noise $\sqrt{rac{T}{Q}}$ T: 温度 [K] Q: 機械損失の逆数

温度を下げる

良い材質を選ぶ

低減する干渉計構成

KAGRA: 低温干渉計 → 熱雑音を低減するクリアな方法.

- 鏡 ~20K, 振り子 ~16K

- 付加的な効果: 機械損失の低減,熱レンズ効果の低減, パラメトリック不安定性の低減.

地面振動の影響低減



・地面振動 --- 地上干渉計の低周波観測帯域と安定度を制限

- 常微動 : 準定常的な変動. 干渉計の観測帯域を制限.

- 非定常変動:地震,気象変動,人工的な励起など.

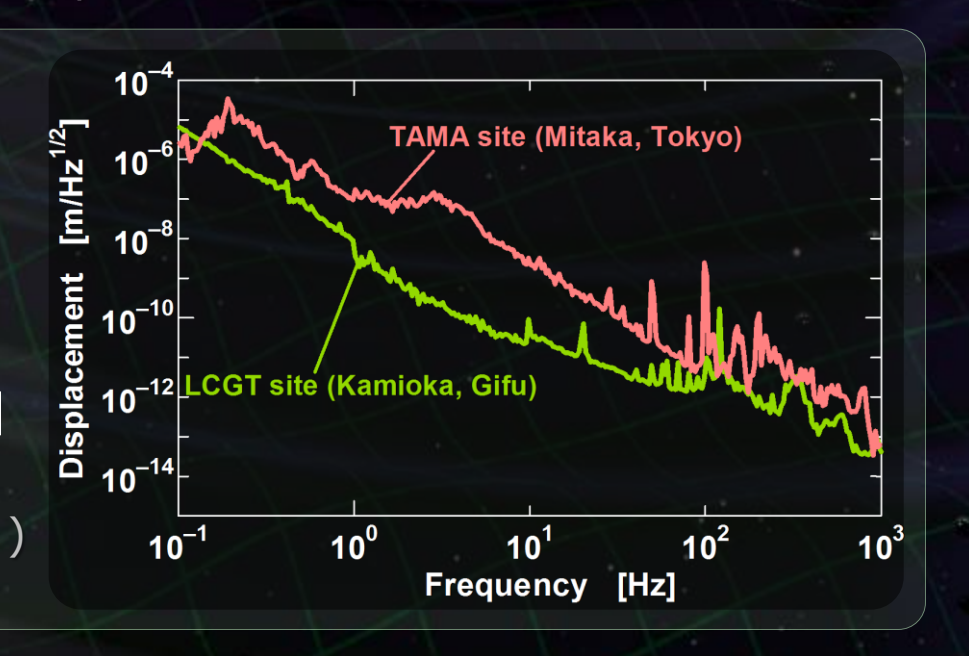
干渉計の安定度,観測のデューティサイクルに影響.

地面振動レベル

- 地下サイトでは2-3桁小さい
- 高周波数で低減.

$$\delta x_{\rm seis} \sim \frac{10^{-9}}{f^2} \ [\text{m/sqrtHz}]$$

(神岡サイトでの値, f:周波数,



KAGRA: 地下サイトに建設 → 2-3桁小さい常微動, 長期安定な環境.

高性能防振装置 SAS:多段・低周波の防振装置.

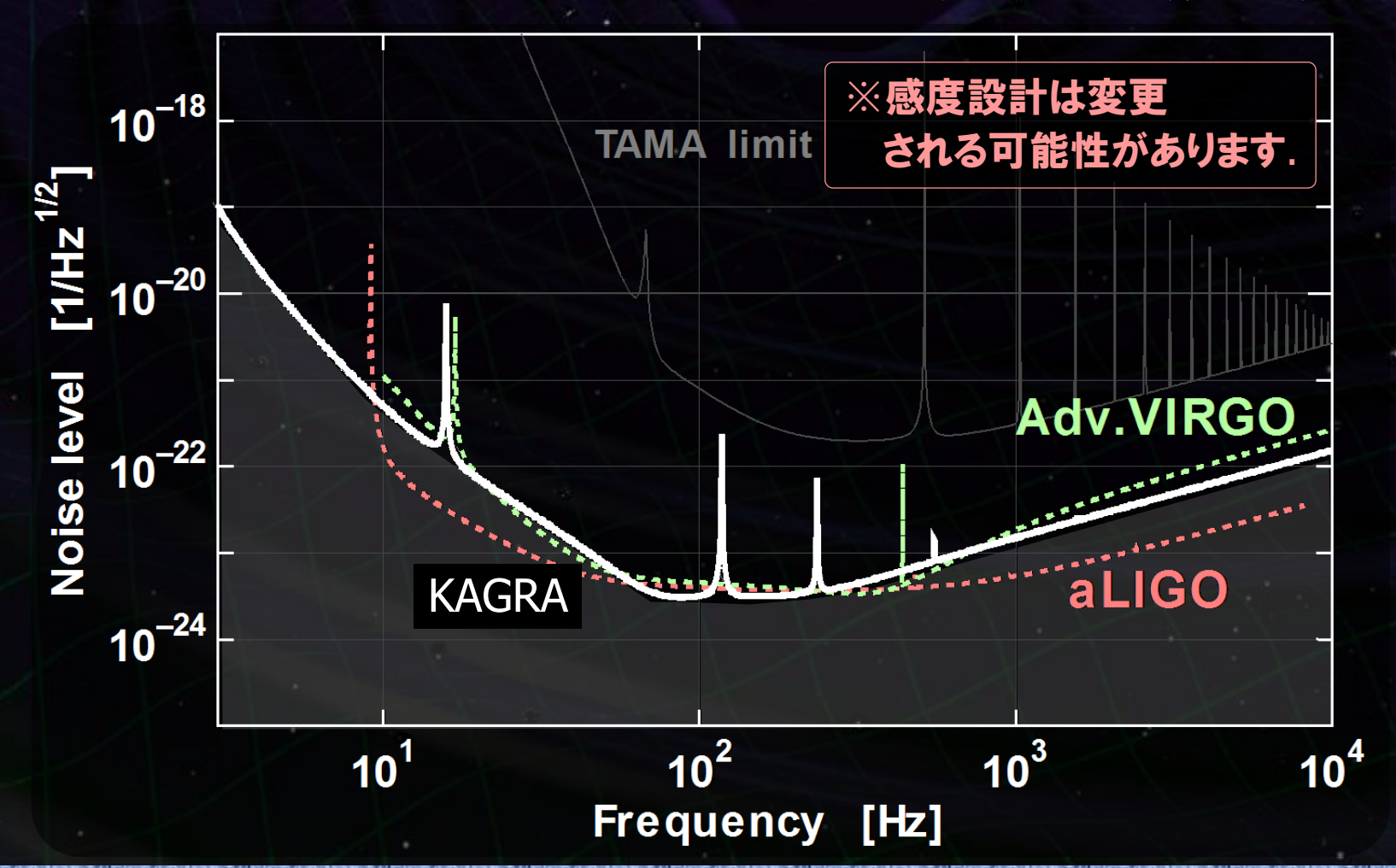
KAGRAの感度限界



主要な雑音源で決まる限界感度 aLIGO や Ad.VIRGOと同等



国際観測網を形成 年間1回以上の重力波信号検出



主な重力波源



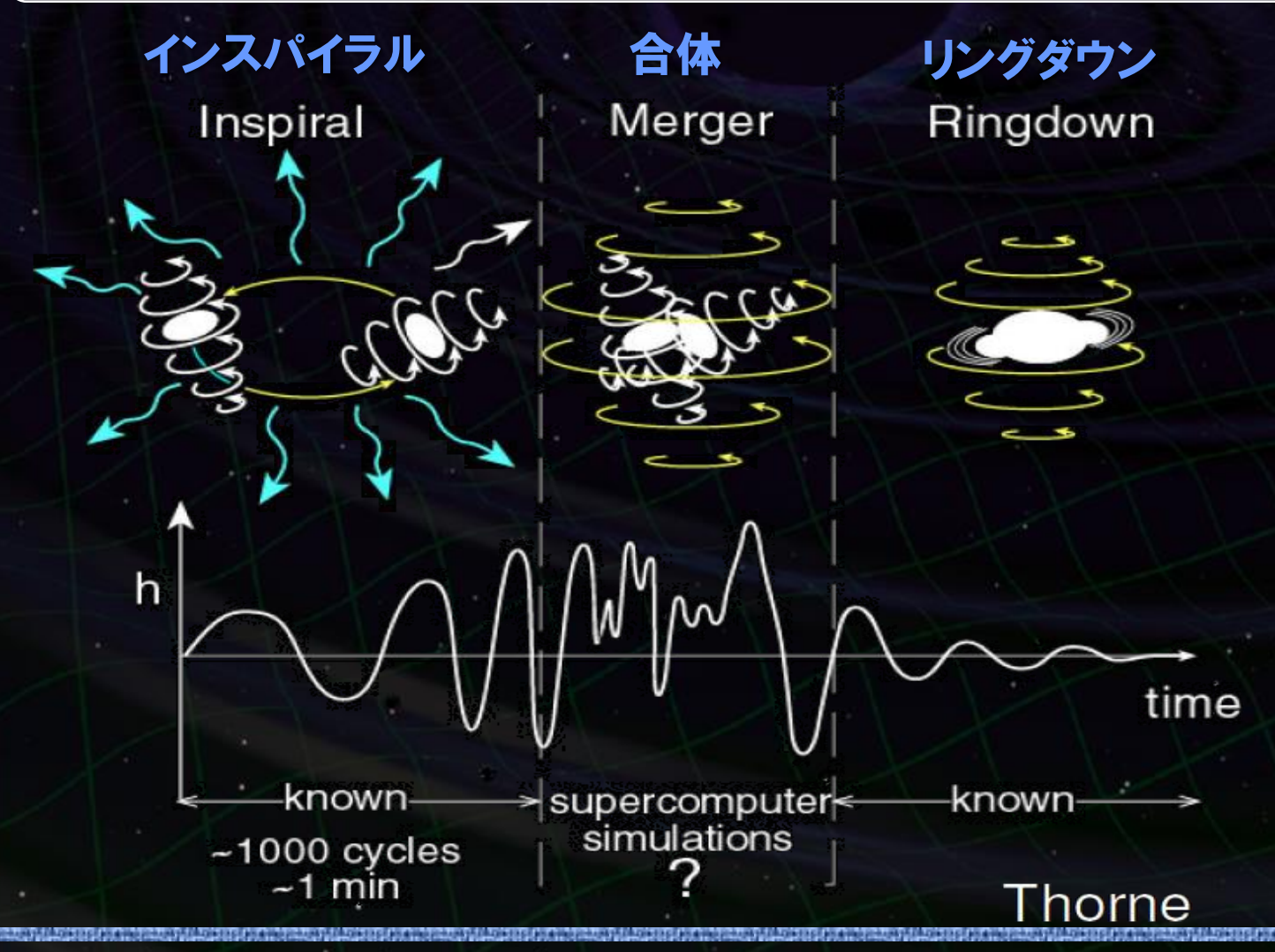
CG/KAGAYA

富山大学 談話会 (2013年7月31日, 富山大学)

連星合体現象からの重力波



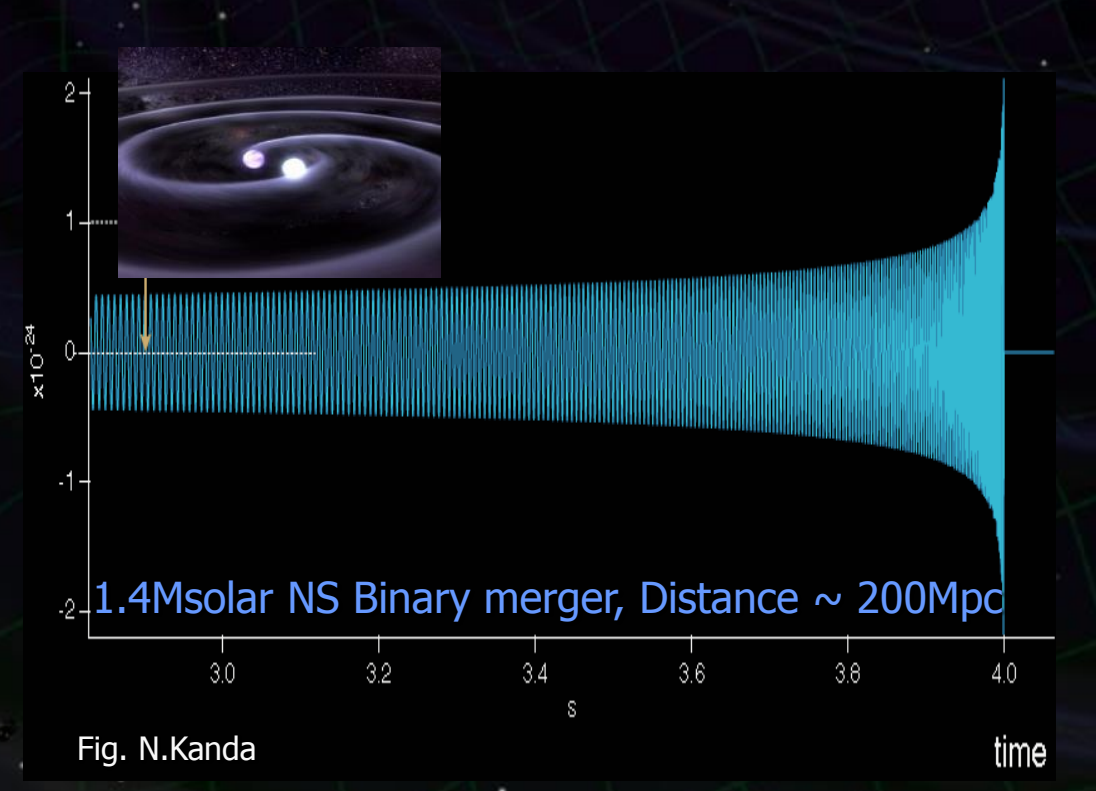
KAGRAの第一のターゲット:連星合体からの重力波



(例) 連星合体からの重力波



チャープ波 時間と共に振幅・周波数が増大. →最終的に合体, BHになる.







KAGRAの観測確率



連星中性子星合体からの重力波の検出

観測レンジ

感度曲線 → 観測可能距離 270 Mpc (目安)

(SNR 8, 最適方向·偏波)

銀河の個数密度:

$$\rho = 1.2 \times 10^{-2}$$
 [Mpc⁻³]

R. K. Kopparapu et.al., ApJ. 675 1459 (2008)

銀河あたりのイベントレート:

$$R = 118^{+174}_{-79}$$
[events/Myr]

V. Kalogera et.al., ApJ, 601 L179 (2004)



KAGRAの観測レート 9.8 events/yr

(1年間の観測での検出確率 99.9%以上)

KAGRAの意義



・重力波の検出と重力波天文学の創生

- 1年間の観測で複数回の重力波信号の検出が期待できる.
 - → 重力波天文学の幕開け, 相対性理論の検証.
- 国際観測網における重要な拠点

波形,偏波などの情報 → 天体現象の情報.

波源の位置の特定 → 電磁波観測も含めた波源の理解.

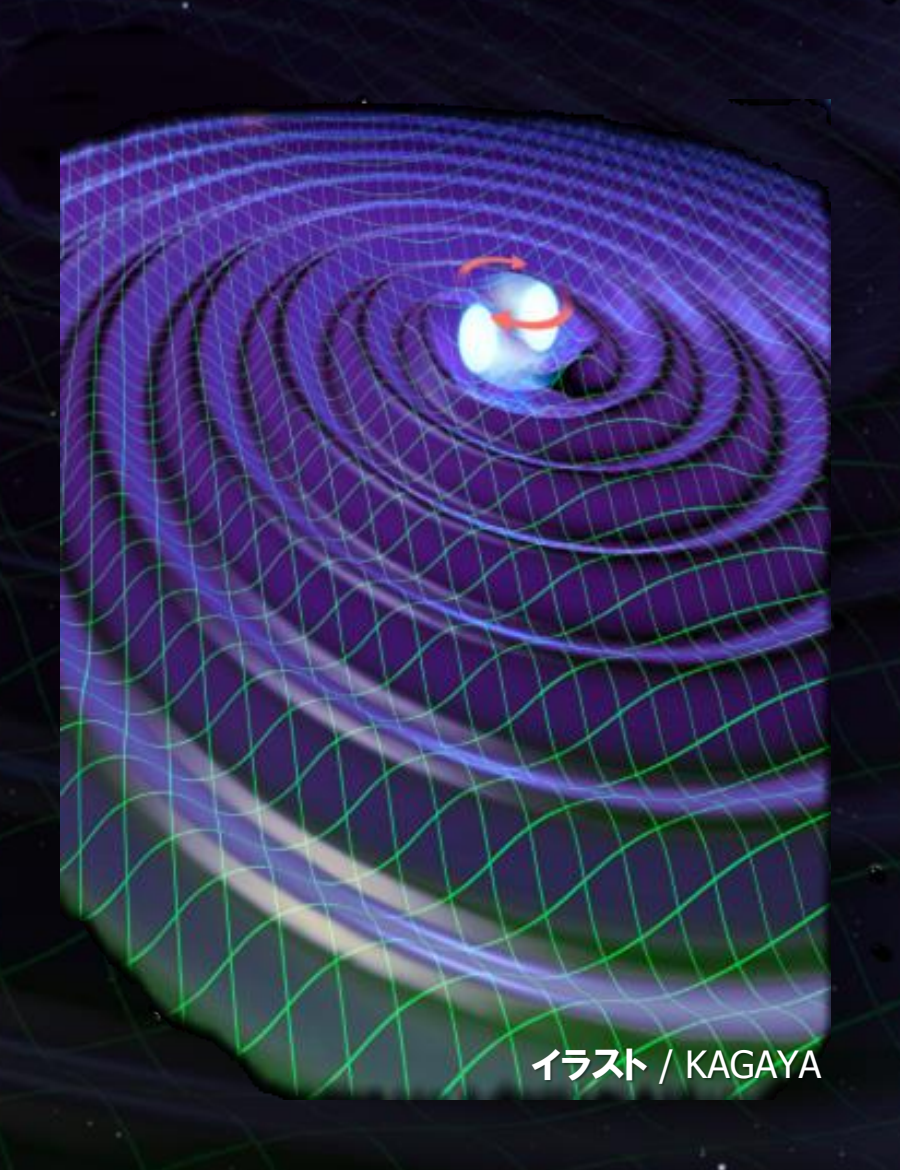
・先進的な干渉計技術の実証

- KAGRAの特徴:低温干渉計,地下サイトに設置.
 - → 第3世代望遠鏡 (Einstein Telescope) に必須の技術.



観測できたら???

- 観測で期待できる知見 -



連星合体観測による知見

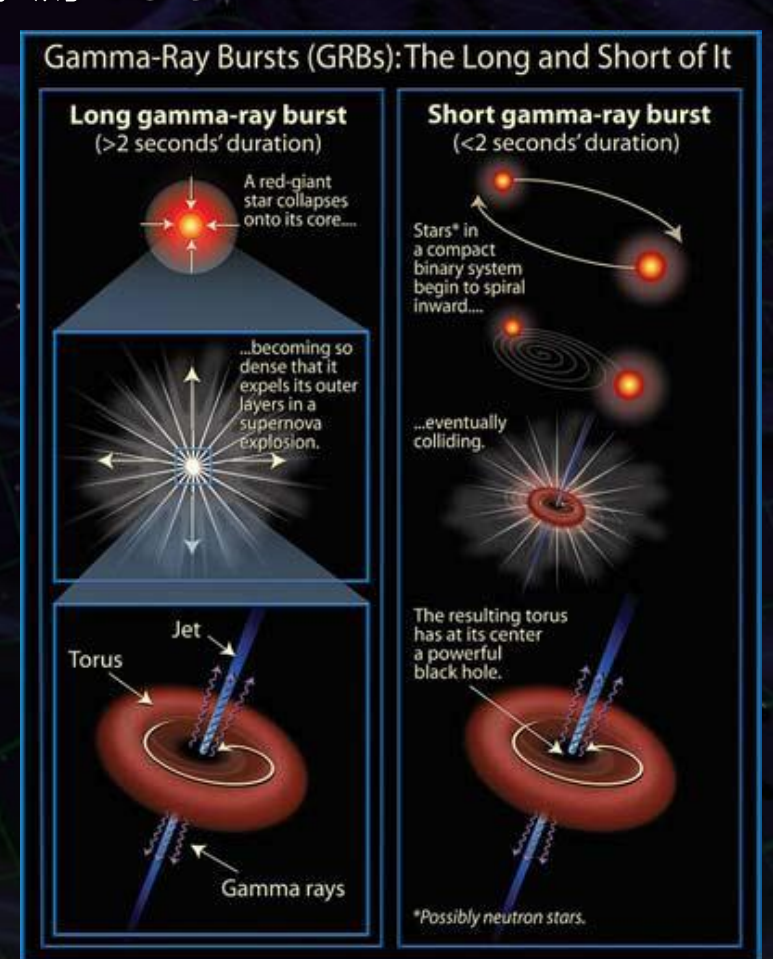


・重力波の初検出

- 連星中性子星:存在が確実,波形が予測できる.
- 相対性理論/重力法則の検証.
- 新しい天文学の創生.
- ガンマ線バーストの起源, 未知の発見.

□◇・高密度核物質の直接探査

- 中性子星の状態方程式の情報.
- 潮汐変形/破壊, HMNSの形成など.
- ・宇宙論・銀河形成史に対する知見
 - 宇宙論パラメータへの制限.
 - 超巨大ブラックホールの形成過程
 - 連星の進化や分布の情報.

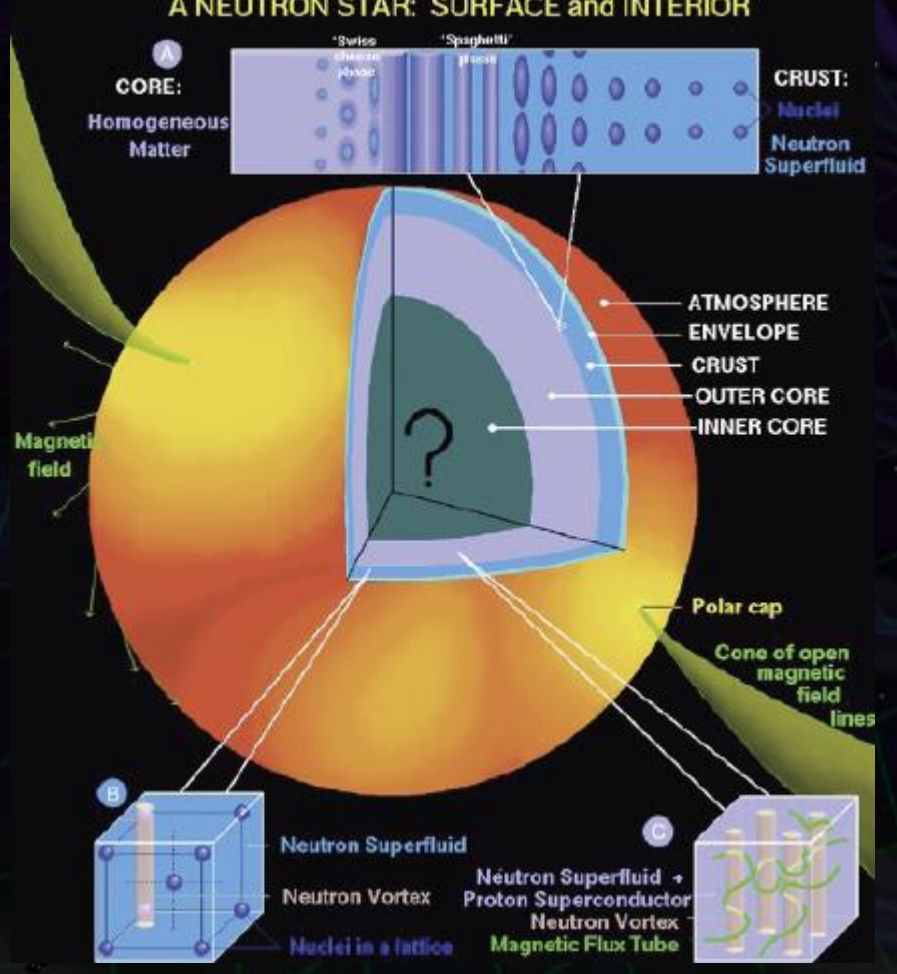


From encyclopedia of science

中性子星の構造







中性子星

- ~太陽質量, 半径~10km の高密度天体.
- 中心部密度:2 $\sim 15\rho_0$

ρ。は標準原子核密度

 $\rho_0 = 2.8 \times 10^{17} \, [\text{kg/m}^3]$

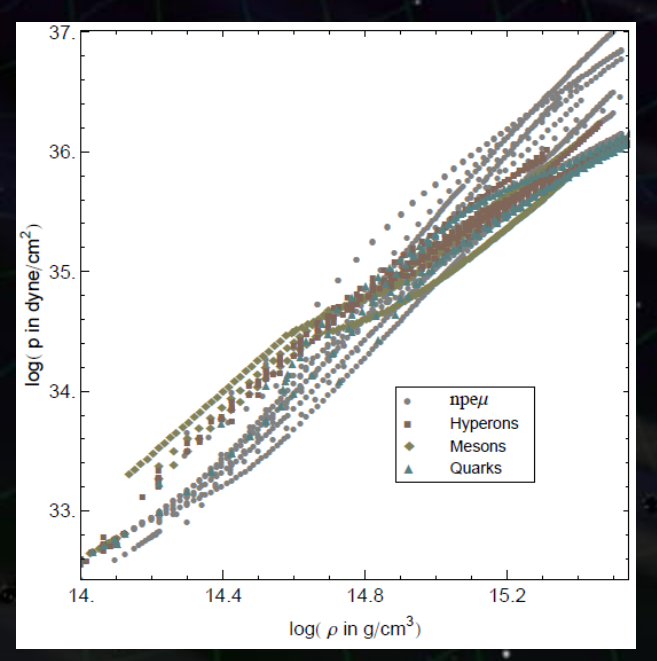
核密度以上の性質は ほとんど理解されていない。

中性子星の状態方程式

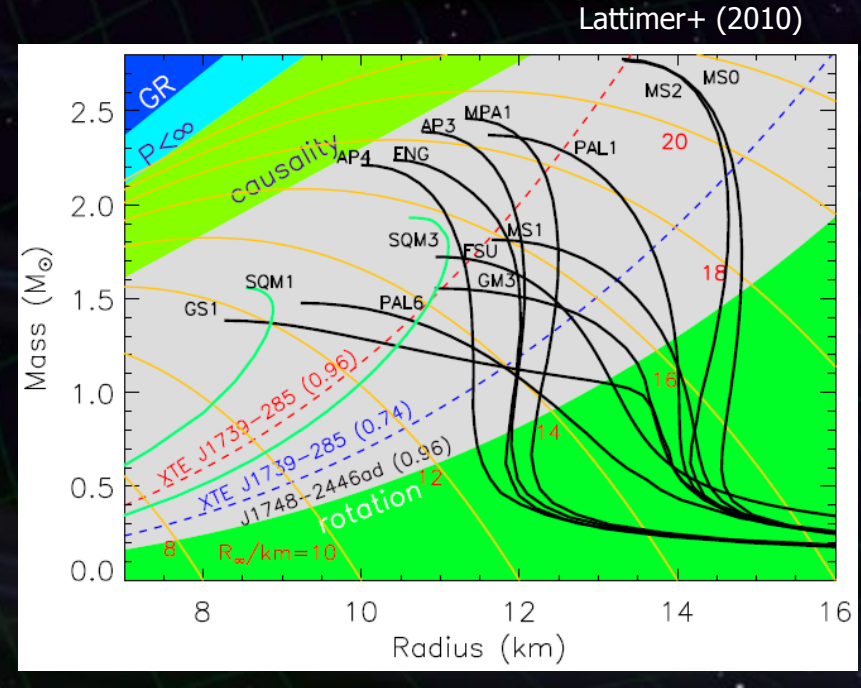


高密度核物質の状態方程式 (EoS, Equation of State)

- 高エネルギー天体現象 (連星中性子星合体, 超新星爆発)
- 原子核物理 (ハイペロン, クォーク, 中間子凝縮)
- 高密度EoSと質量-半径が対応.
- 各EOSに応じた最大質量 Mmax が存在

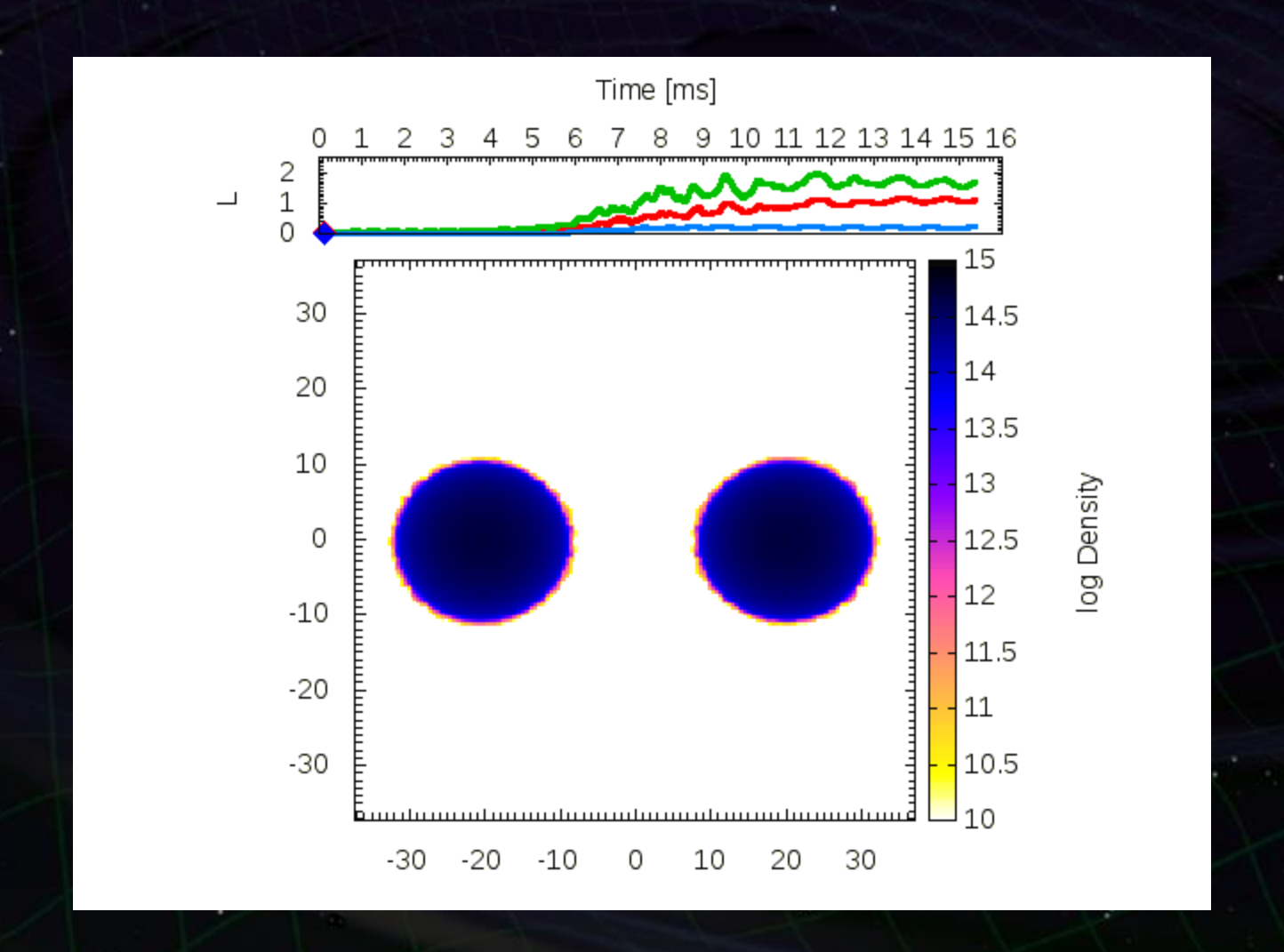






数值相对論計算

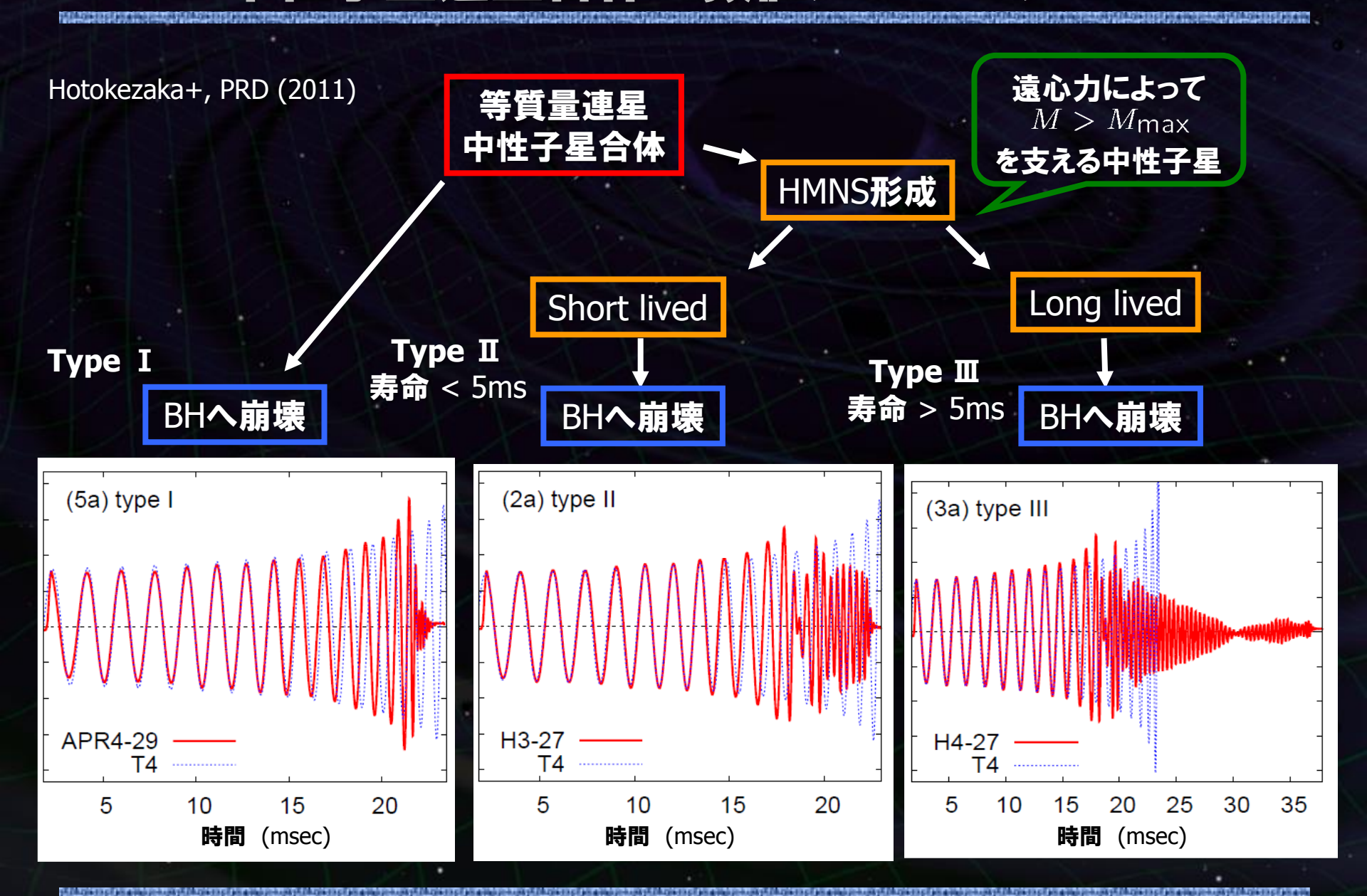




連星中性子星の合体数値シミュレーション by 関ロ氏

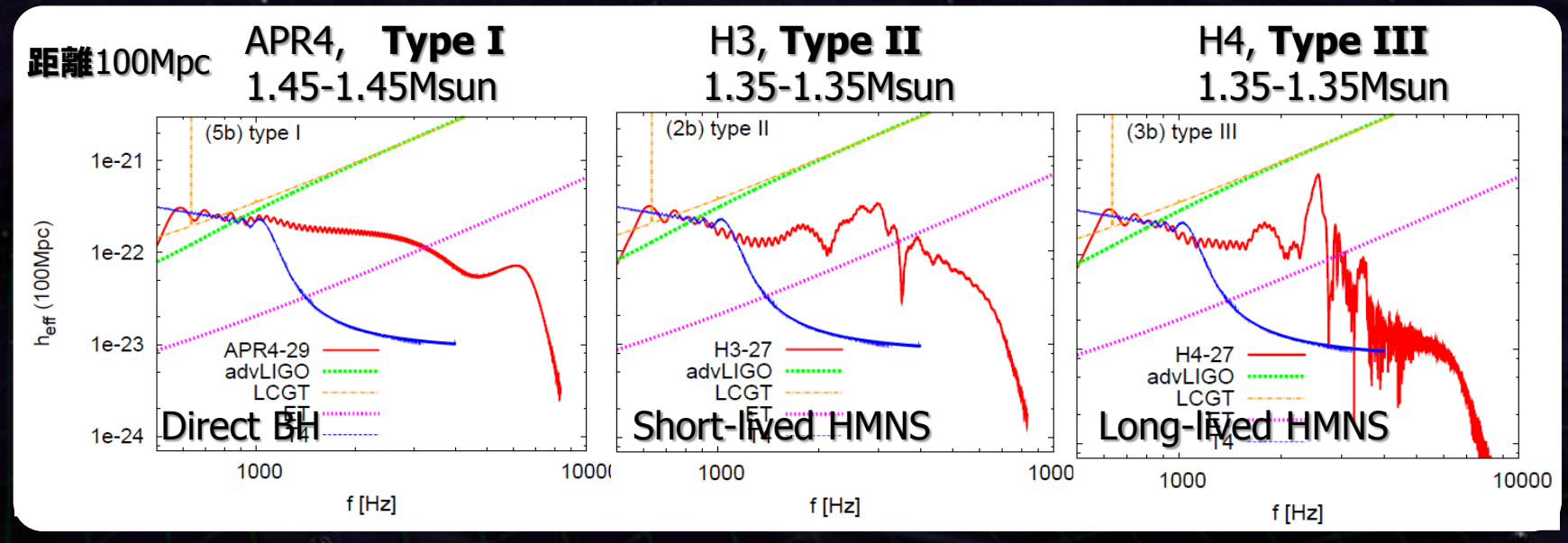
中性子星連星合体の数値シミュレーション





連星合体のスペクトル



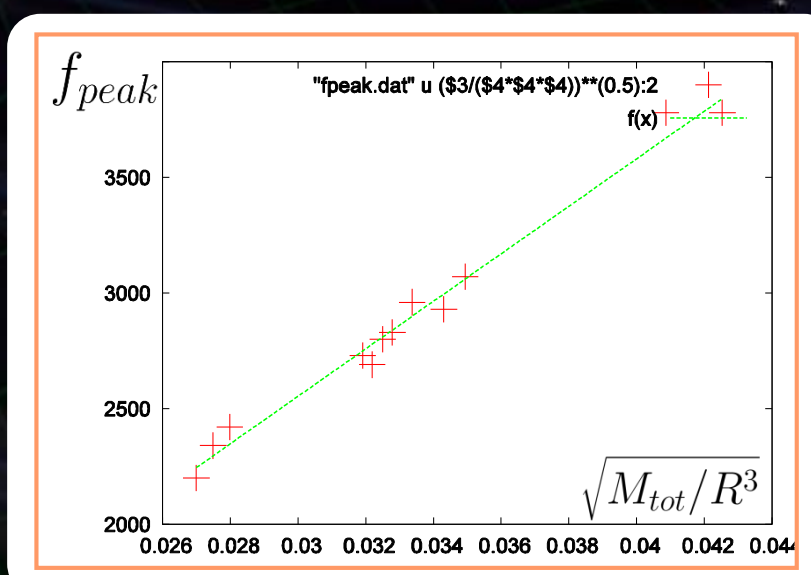


HMNSの回転周波数にピーク → 中性子星の半径と相関



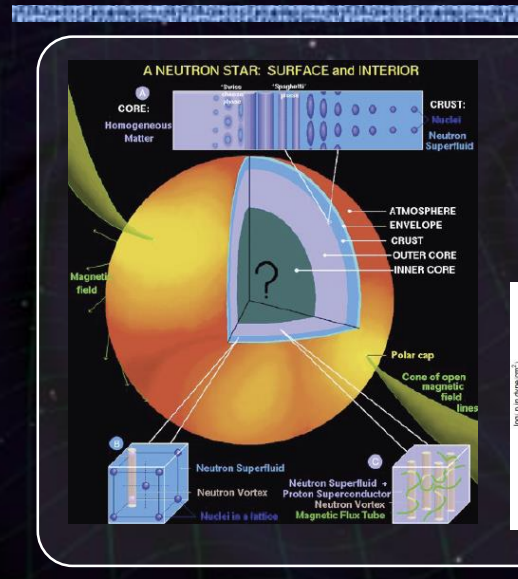
EOSに強い制限

Hotokezaka+, PRD (2011) Kyutoku+, PRD (2010), Bauswein+ (2011)



状態方程式と天文学



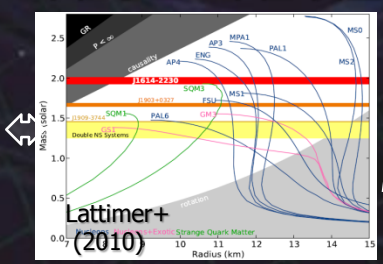


中性子星の状態方程式

(密度 2 $\sim 15\rho_0$)

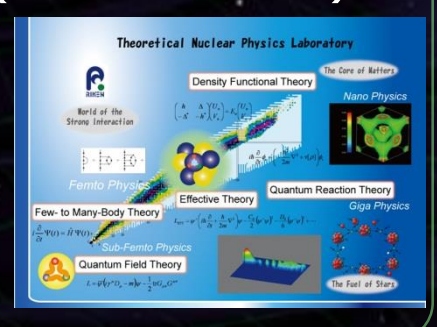
密度-圧力

中性子星の半径-質量



原子核理論

→ 地上実験が困難な 高密度物質の物理 (ハイペロンなど)



高エネルギー天体現象

→ 天文学, 極限状態の物理法則



相対論·宇宙論

連星合体 → 標準音源 (Standard Siren)



強い重力場での重力法則 宇宙の加速膨張観測

理研Web pageより

Messenger and Read, arXiv:1107.5725



望遠鏡建設中!!!

- KAGRAの現状 -



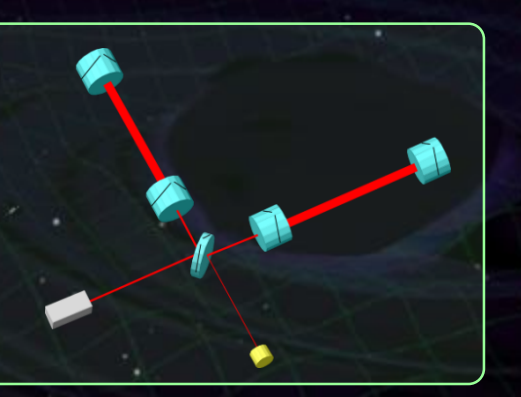
KAGRAスケジュール



•**iKAGRA** (2010.10 – 2015.12)

3-km FPM interferometer

- Baseline 3km room temp.
- Operation of total system with simplified IFO and VIS.





- •**bKAGRA** (2016.1 2018.3) Operation with full config.
 - Final IFO+VIS configuration
 - Cryogenic operation.



KAGRA サイト



岐阜県・神岡町 の地下サイトに建設

Facility of the Institute of Cosmic-Ray Research (ICRR), Univ. of Tokyo.

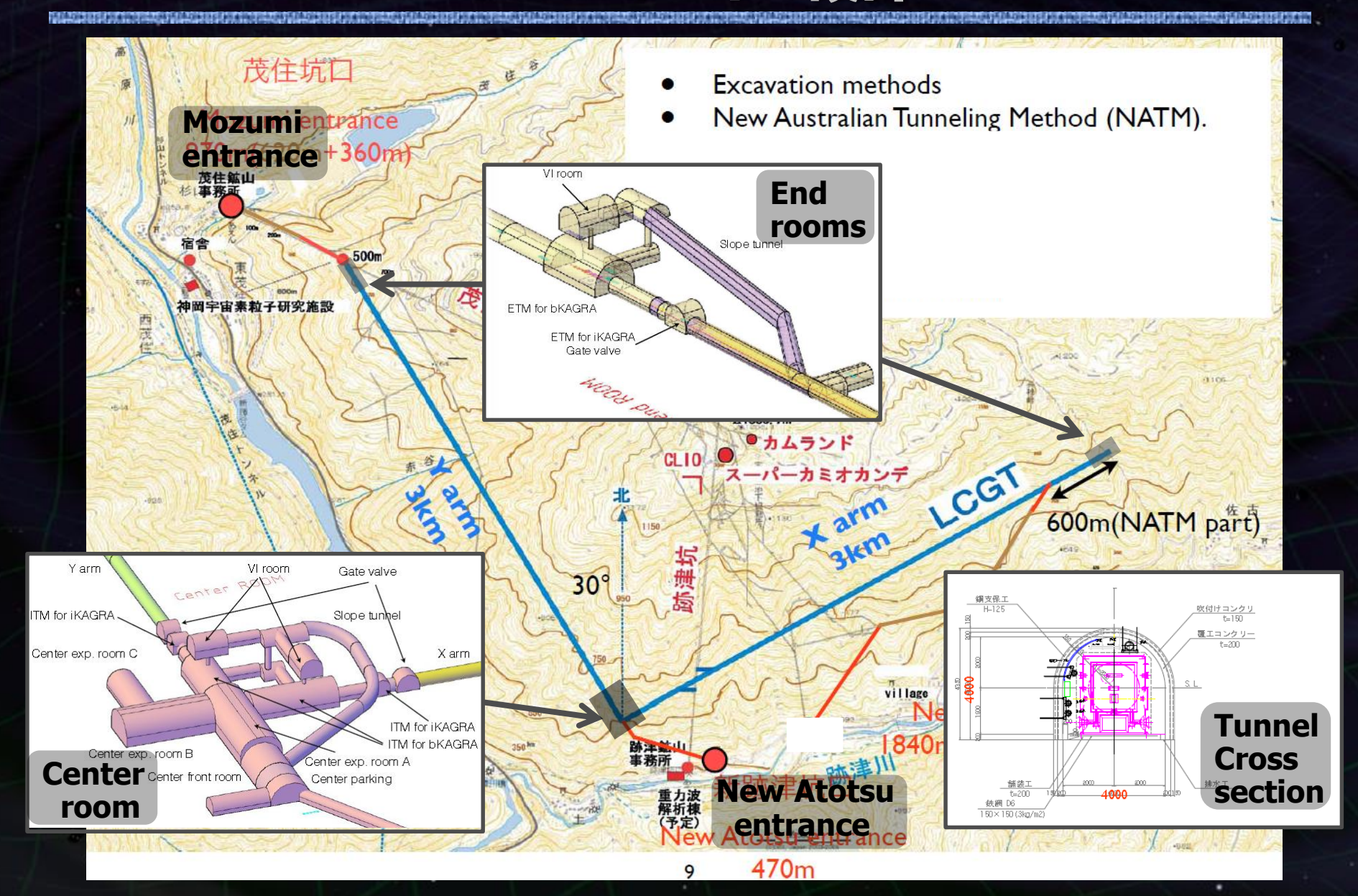




Map by Google

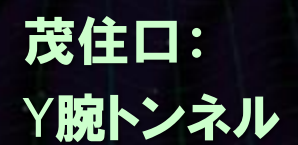
KAGRAトンネル設計





掘削工事の現状



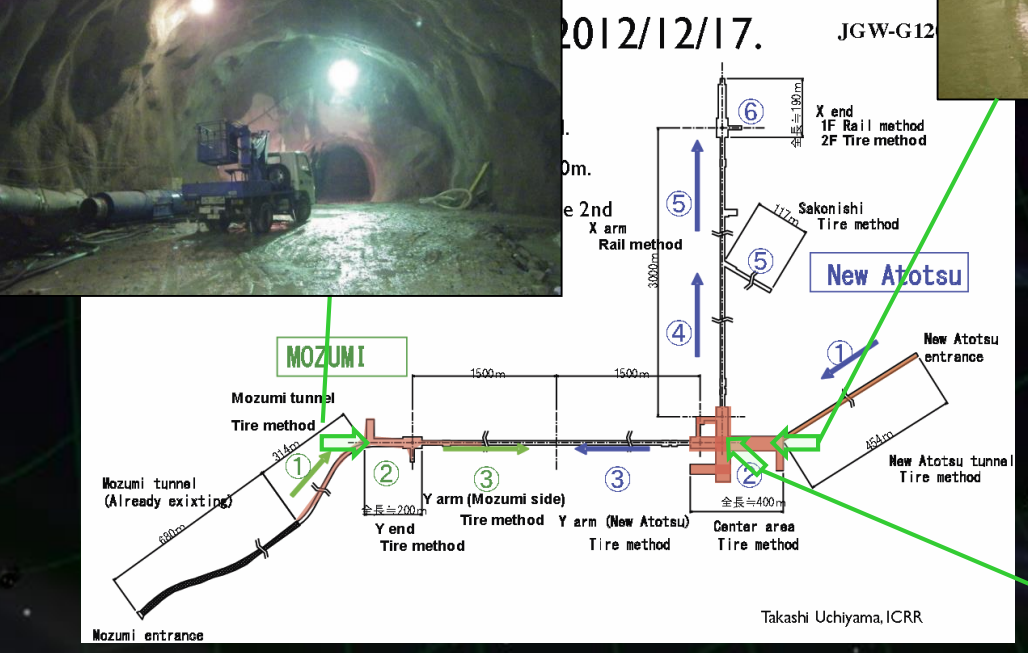




ort for the KAGRA

新跡津口:センタールーム

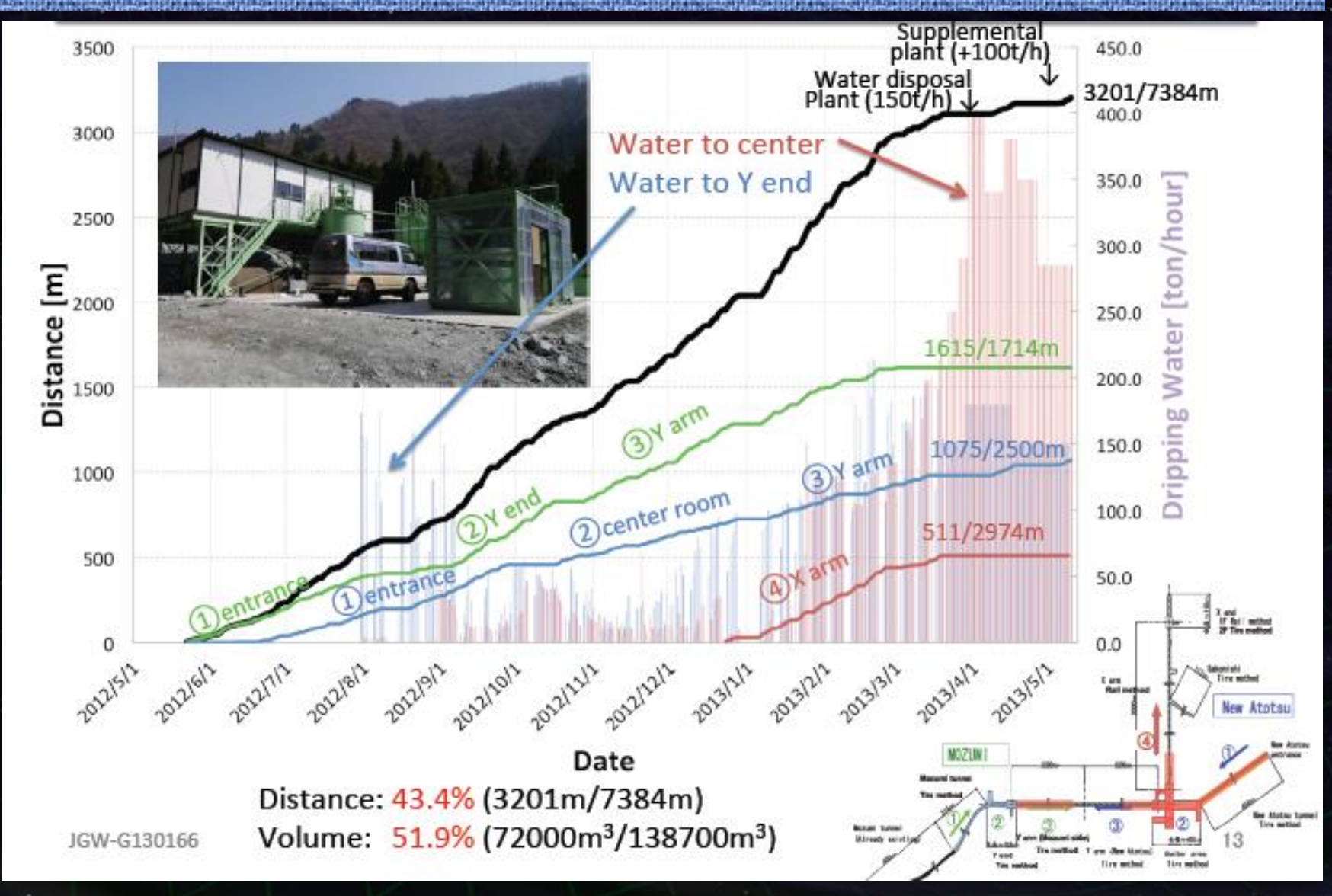






空洞掘削状況



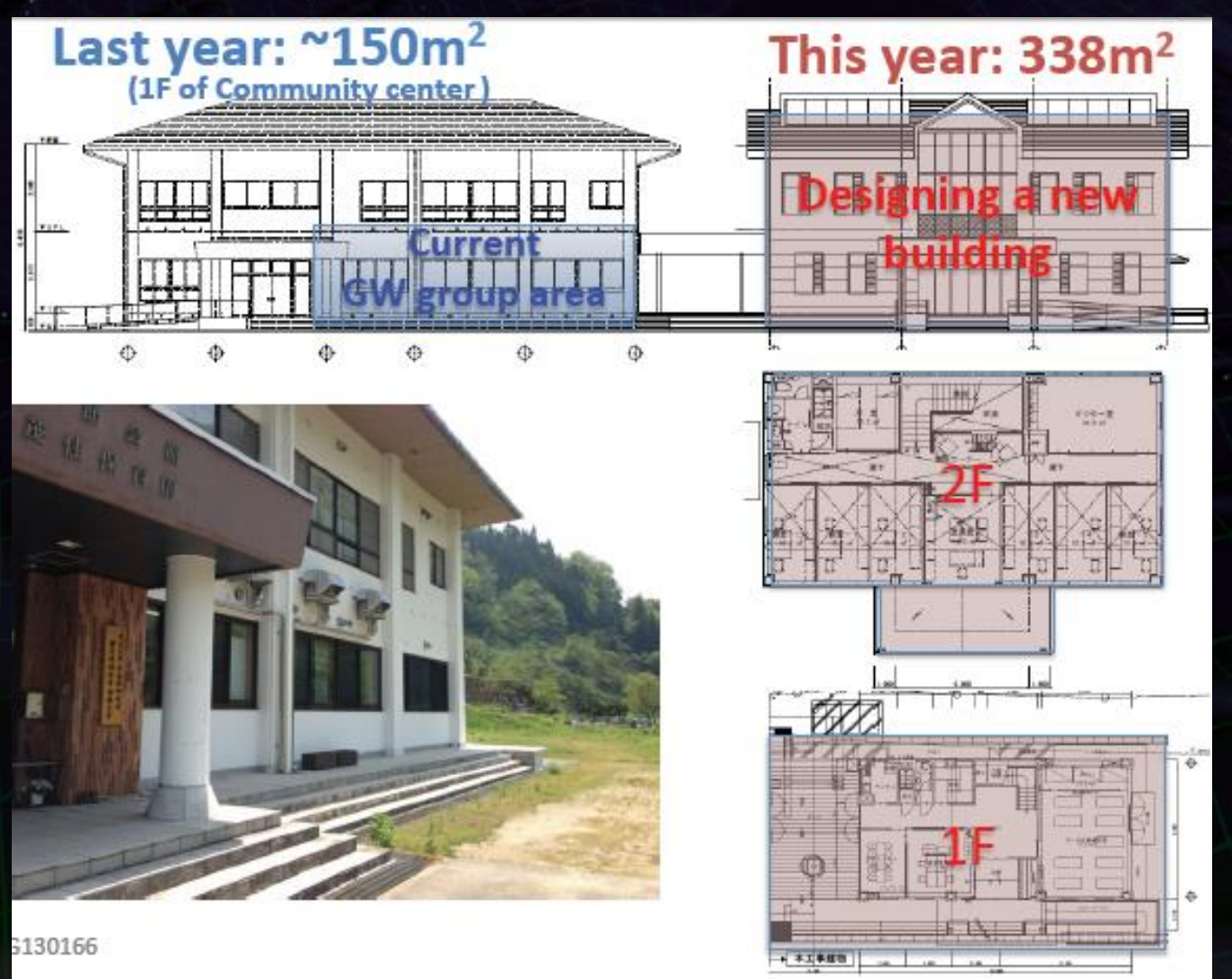


O.Miyakawa , GWADW at Elba (May 2013)

現地の研究拠点



Office and Laboratory at Kamioka site



O.Miyakawa , GWADW at Elba (May 2013)

真空ダクト



3km x 2本の真空ダクト:

12m, Φ800mm を478本接続. → 納品済.



Press to form a duct



Baking at MIRAPRO Co. Noda/MESCO, Kamioka



Bellows for each duct



Test at MIRAPRO Co. Noda

Presentation By Y.Saito (KEK)



Transportation to Kamioka

真空ダクト設置試験



KAGRA模擬トンネル・ビームライン設置試験場







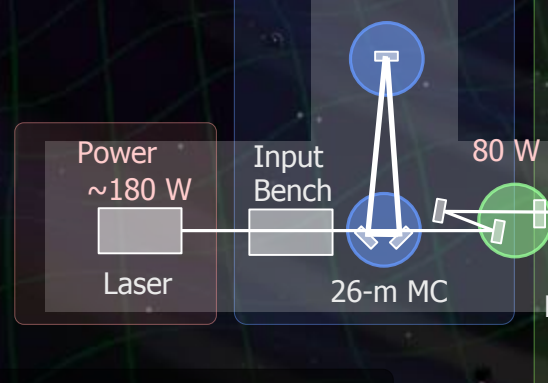


KAGRA 干渉計構成



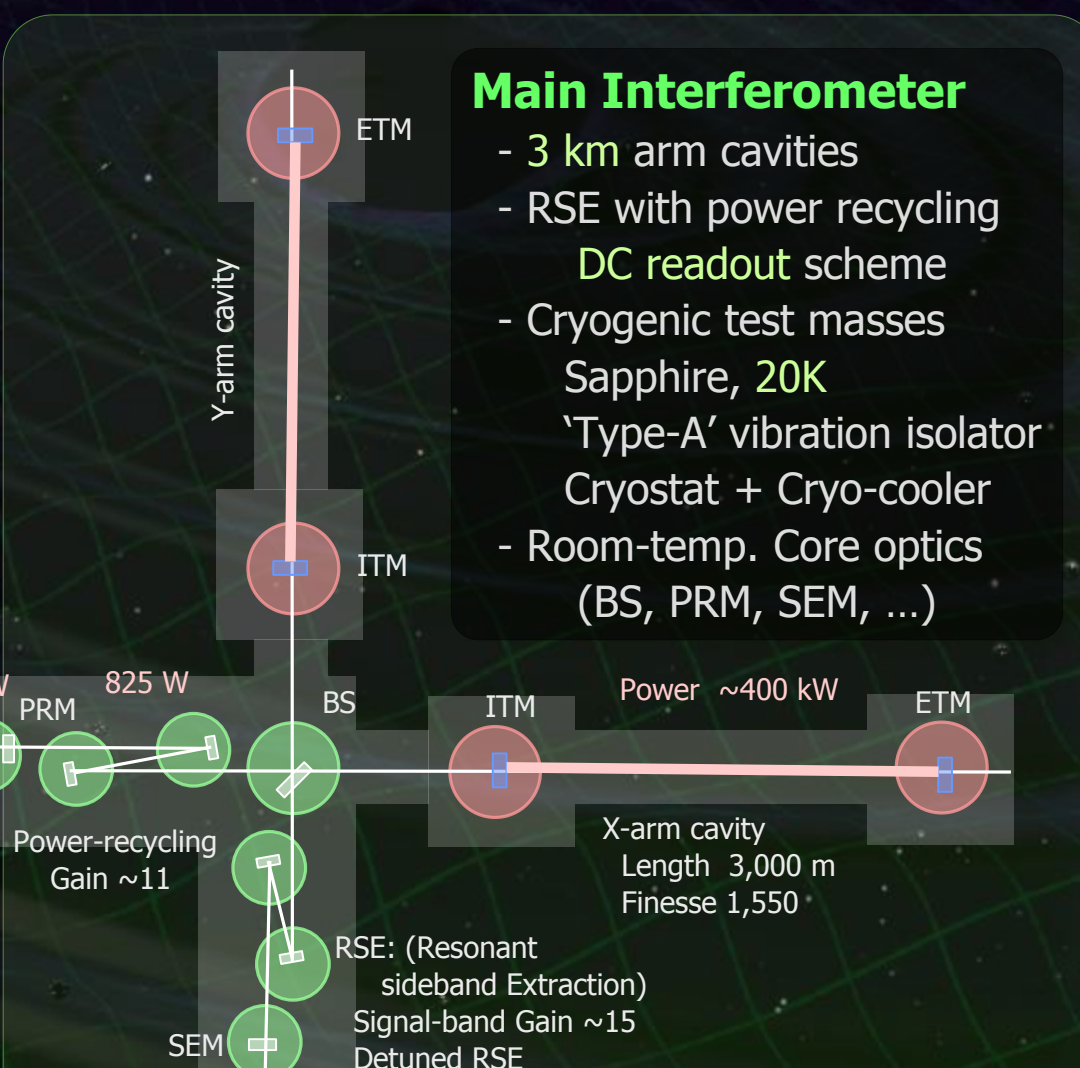
Input/Output Optics

- Beam Cleaning and stab.
- Modulator, Isolator
- Fixed pre-mode cleaner
- Suspended mode cleaner Length 26 m, Finesse 500
- Output MC
- Photo detector



Laser Source

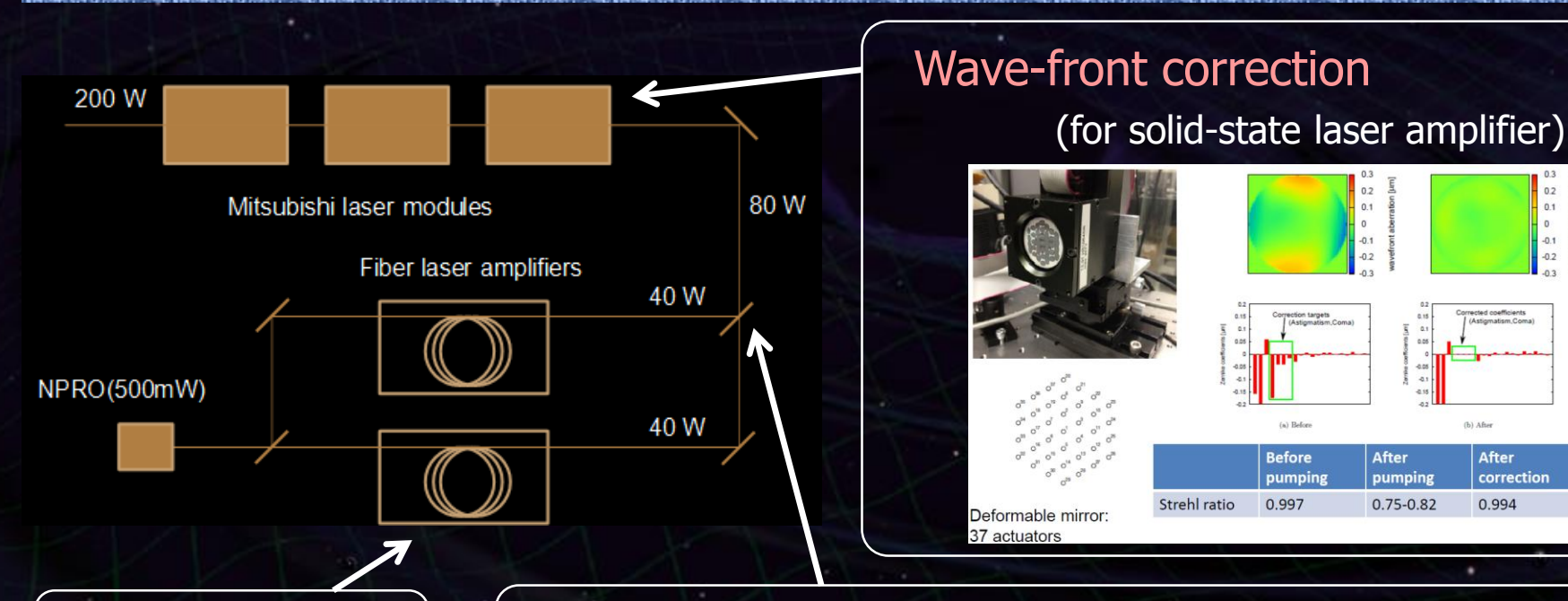
- Wavelength 1064 nm
- Output power 180 W
 High-power MOPA



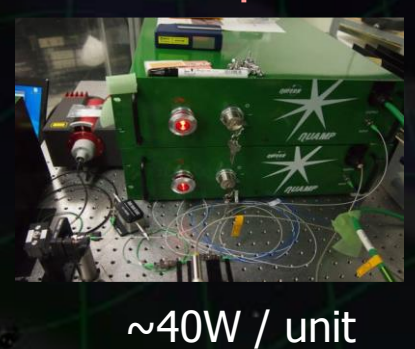
(Variable tuning)

高出力レーザー光源

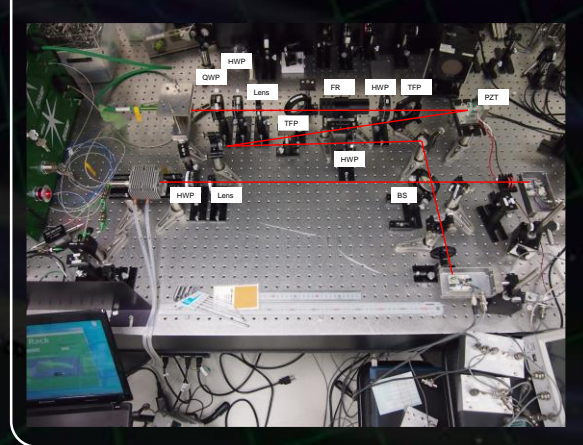




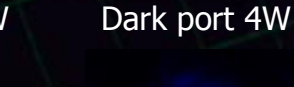
High-power Fiber amplifier



Coherent Addition



Bright port 78W



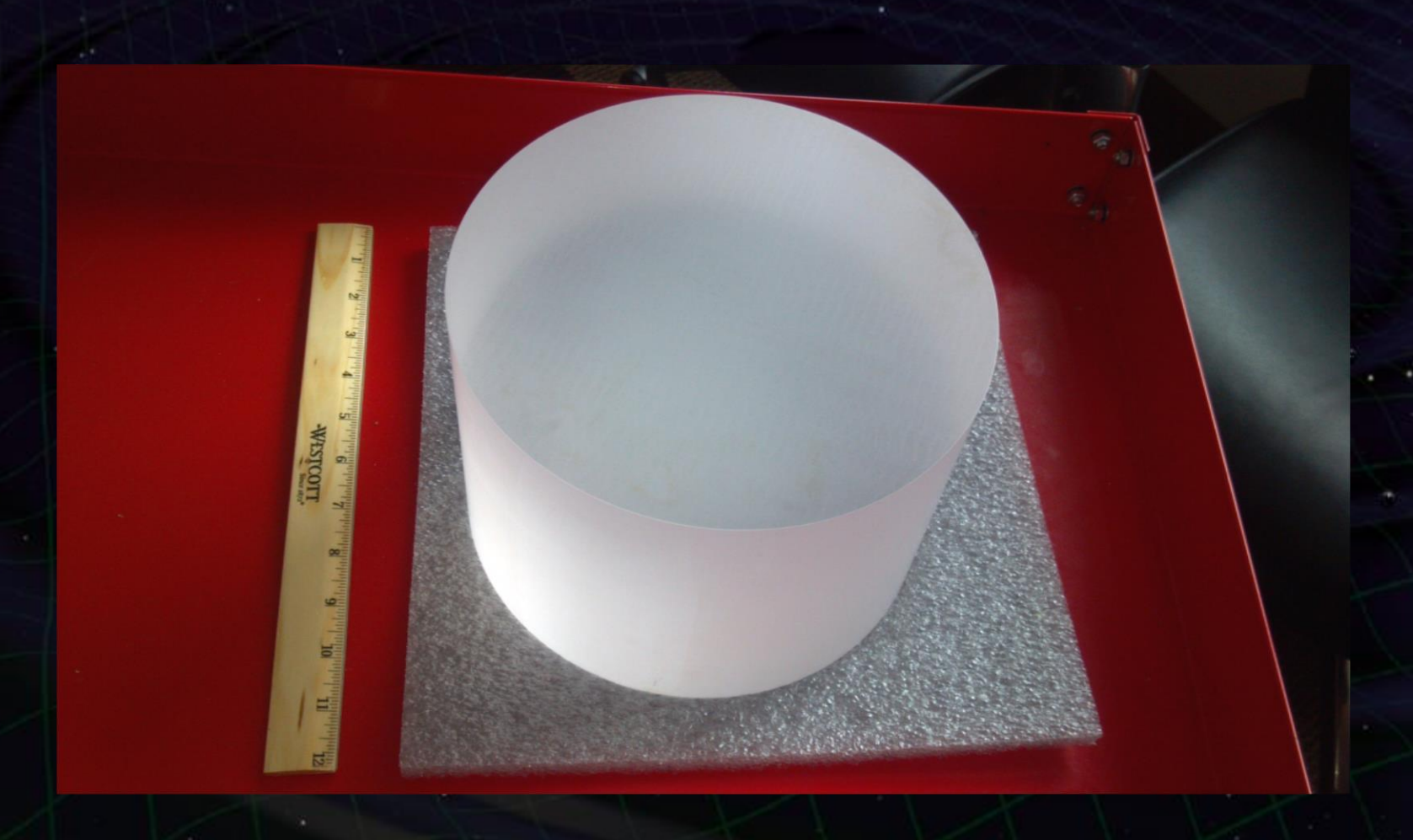


78W power by coherent addition of two 41-W beams.

From presentation by N.Mio

サファイヤ鏡

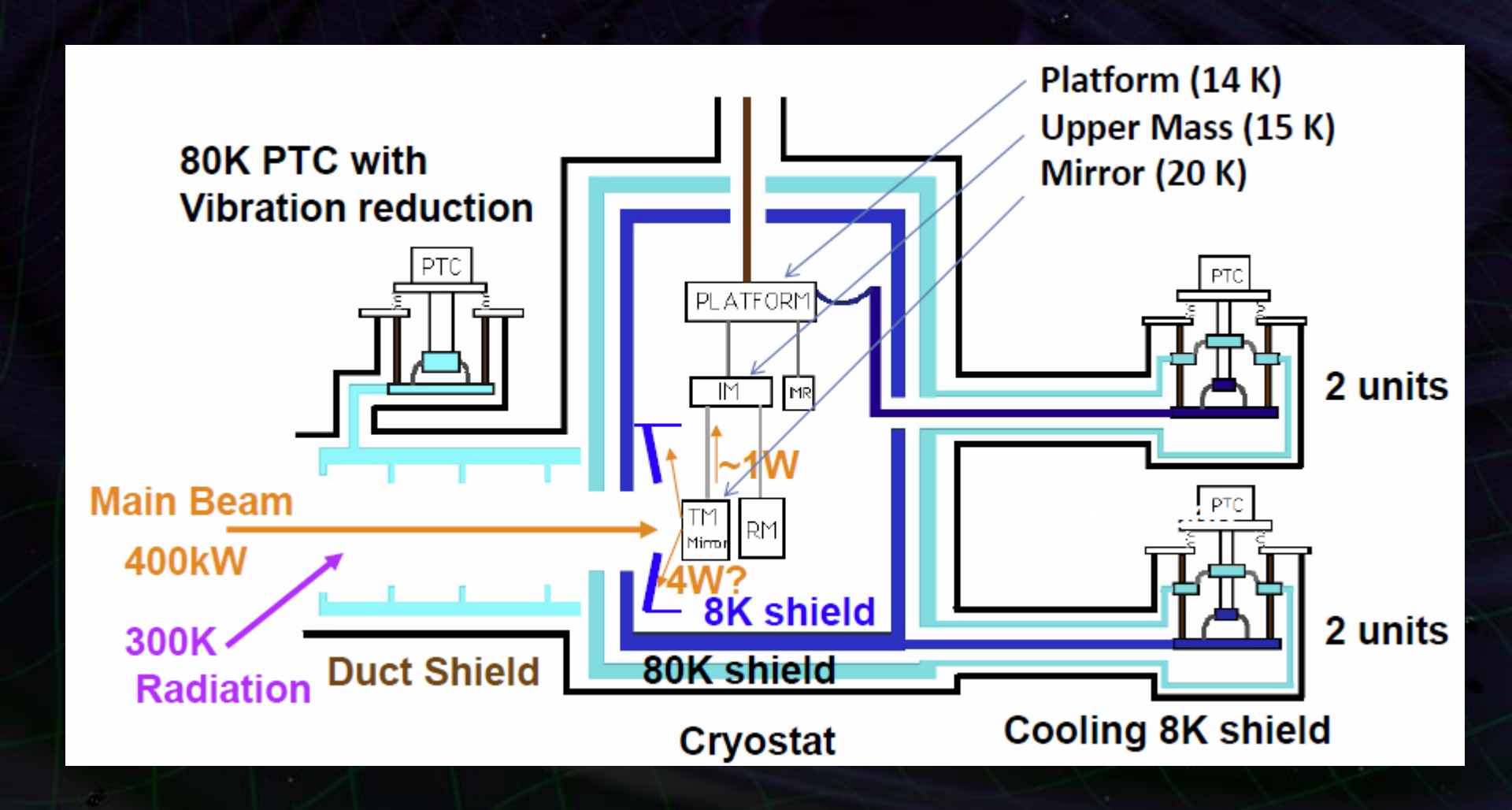




2 Sapphire substrates were delivered (Φ220mm, t 150mm, c-axis)

鏡冷却システム



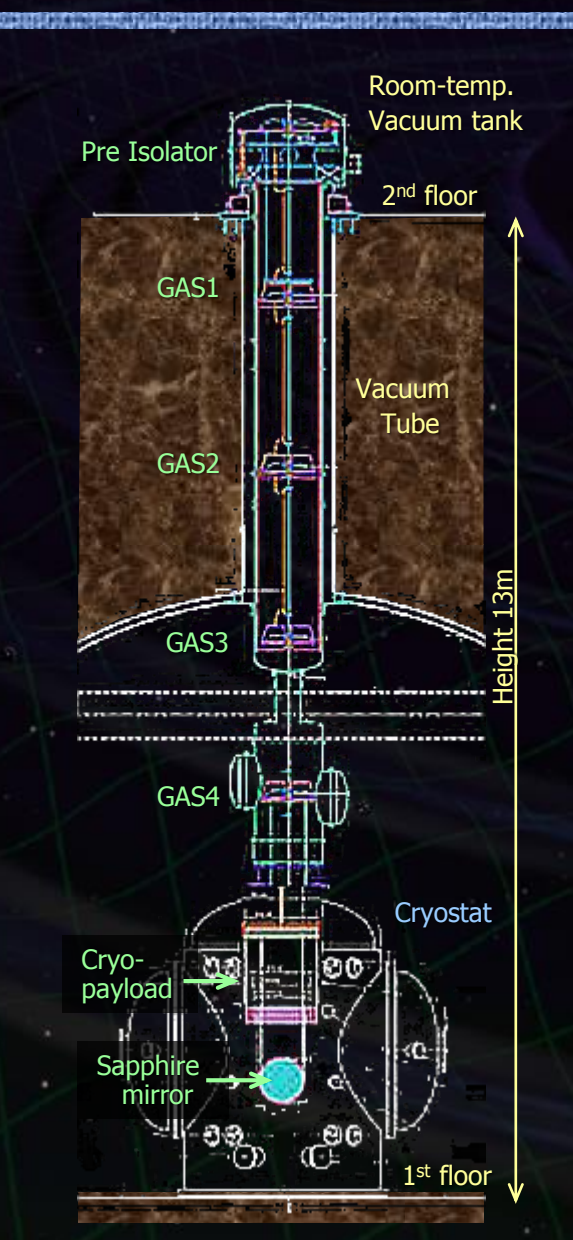


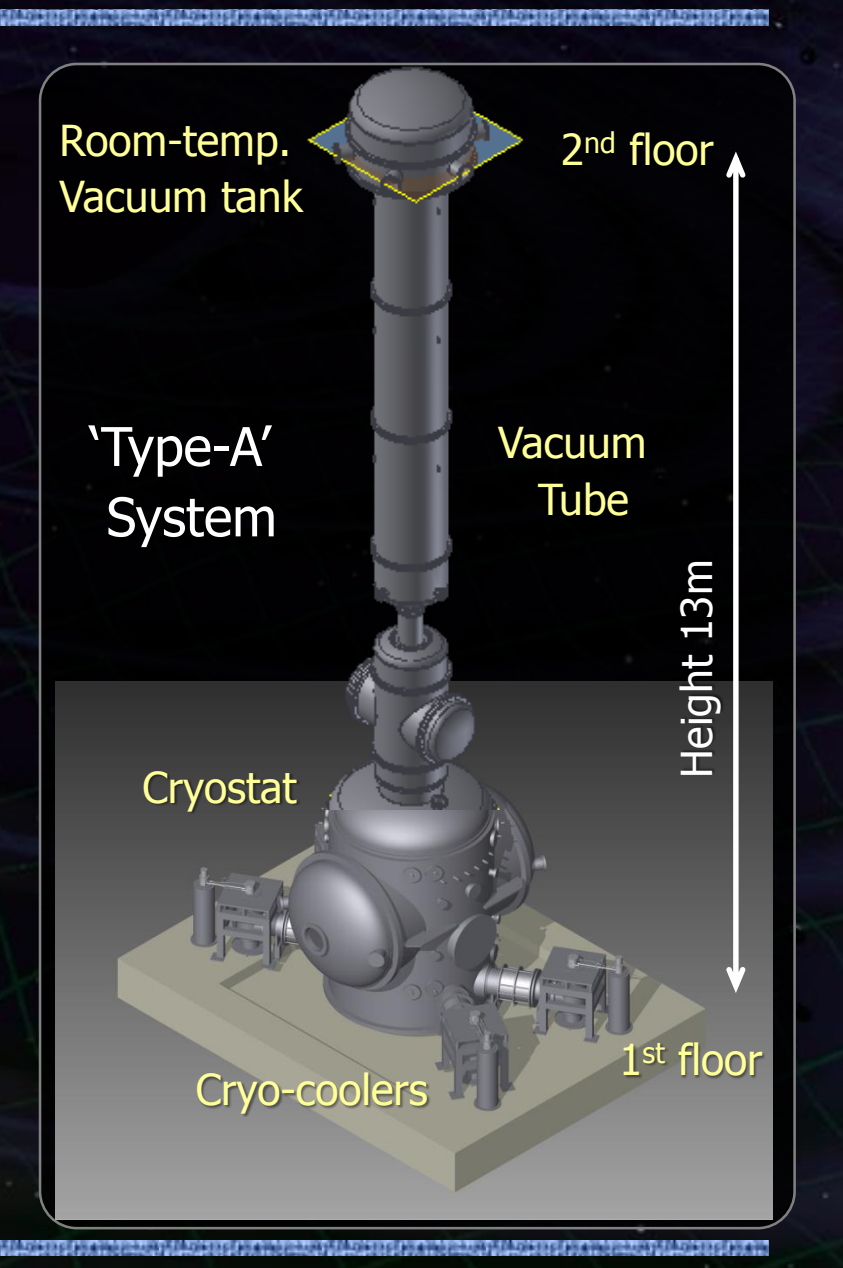
低温鏡 懸架·防振装置



Room-temp. Filter chain

Cryogenic Payload





クライオスタットの製作



- ・クライオスタット用真空槽 (4台) 完成
 → ラディエーションシールドのインストール
 冷凍機ユニット接続 → 冷却試験.
- Cryostat #1 in preparation for installation of radiation shield. Cryostat #2 under leak test. Toshiba Keihin Factory (Oct 31, 2012)

Inside the Rad. Shield





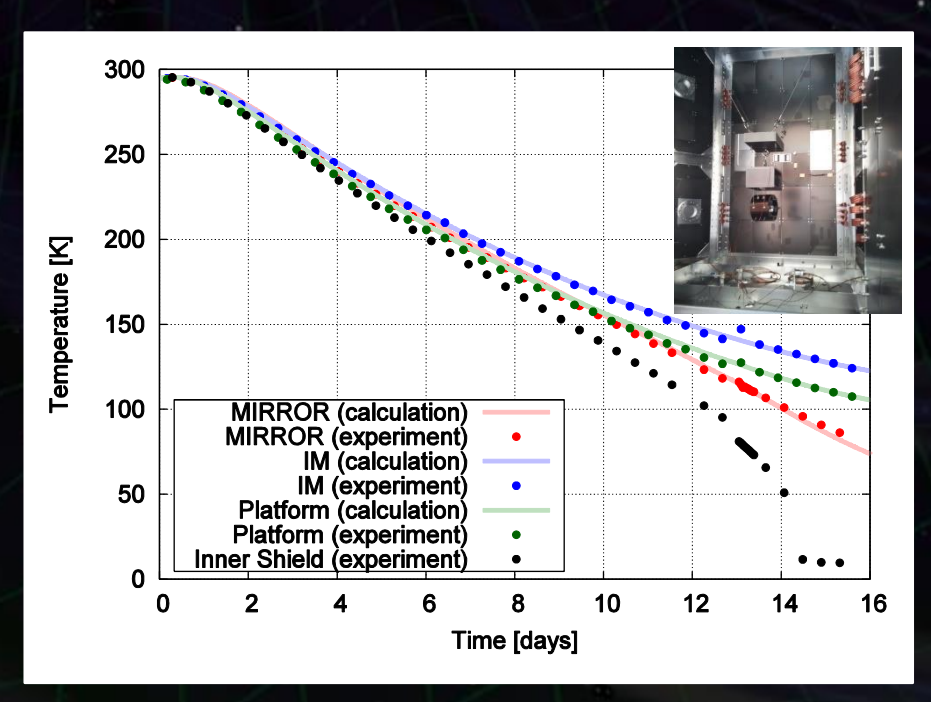
クライオスタット冷却試験



約2週間で冷却できることを確認. ダミーペイロード冷却試験も実施.



倉庫に搬入 (2013.7)





Presentation by N.Kimura at Amaldi10 (2013.7)

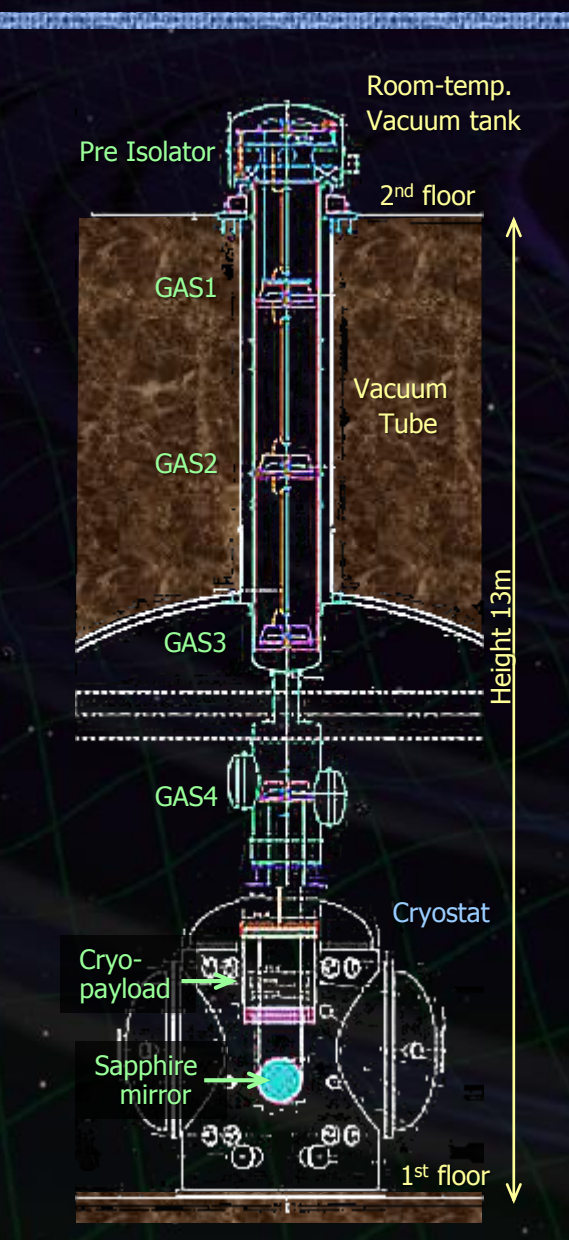
Photo by C.Tokoku

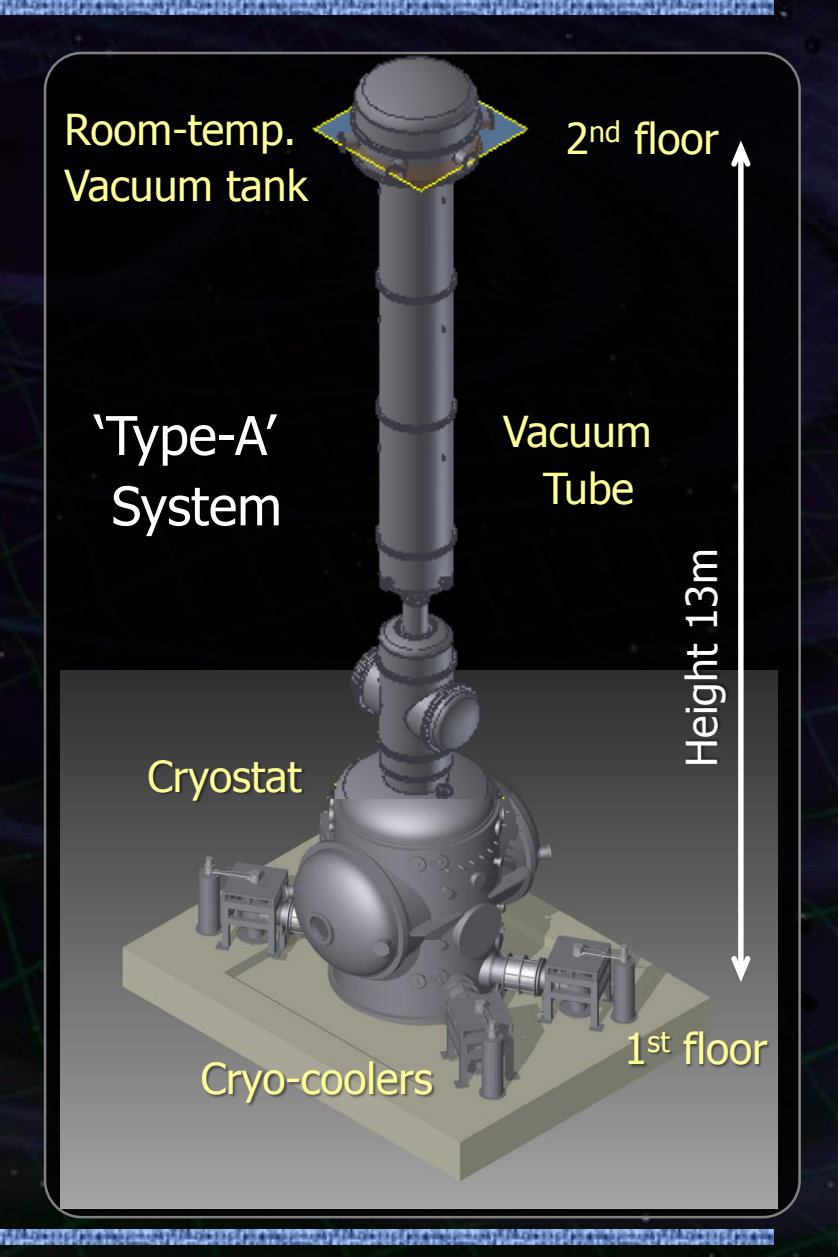
低温鏡 懸架·防振装置



Room-temp. Filter chain

Cryogenic Payload





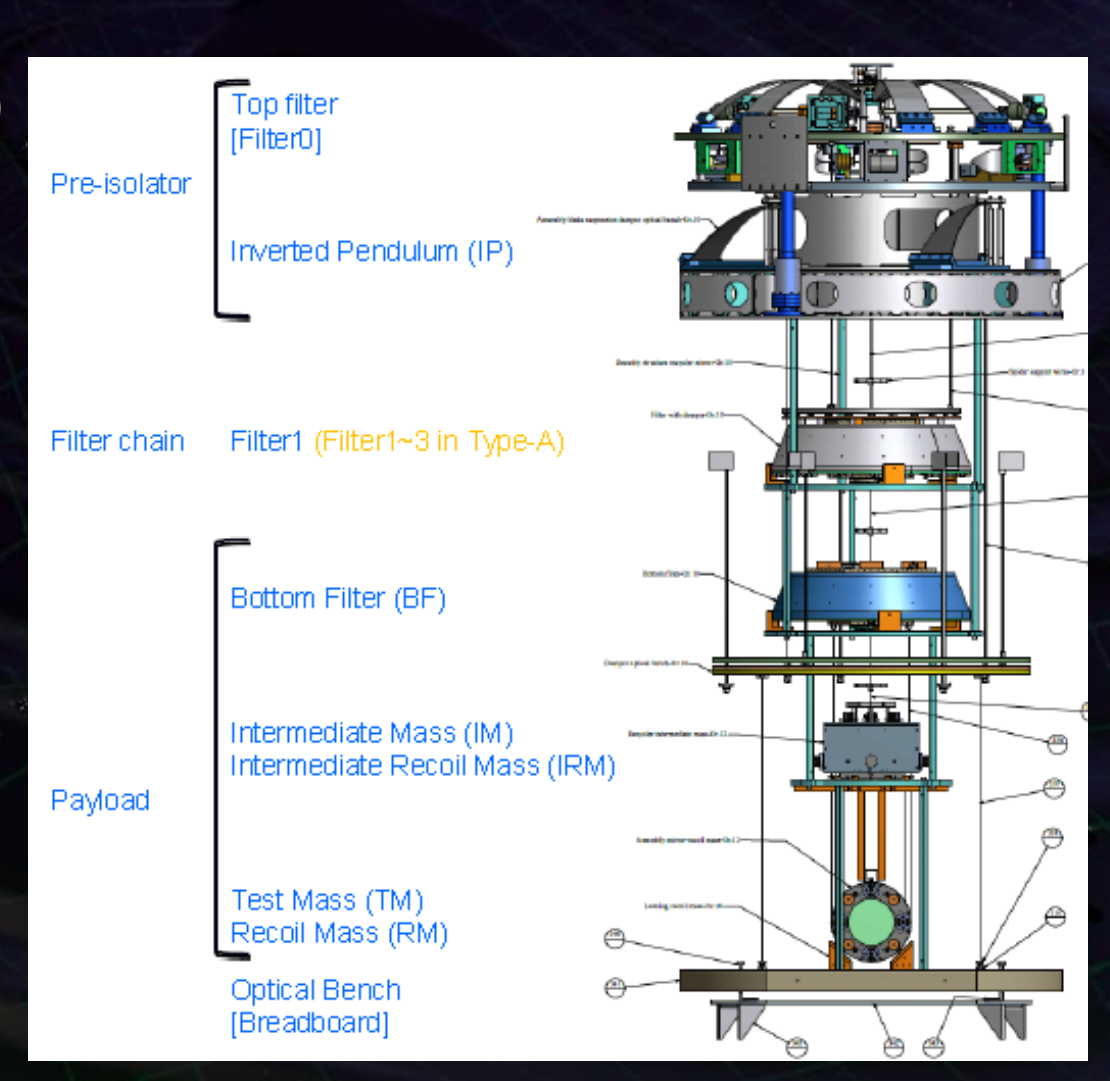
防振装置構成



SAS (Seismic Attenuation System)

- Multi-stage, low-freq. isolator for silica room-temp. optics (BS, PRC, and SEC).
- •Full system test at TAMA300 facility in this year.

R. Takahashi at External Review (April 2012)



防振装置













まとめ



KAGRA: プロジェクト進行中

- ・観測可能距離 ~200Mpc → 年間数回以上の重力波検出.
- ・海外の望遠鏡とともに 第2世代の観測ネットワークを形成
 - □ 重力波天文学の分野を切り開く.
- ・KAGRAでは,世界に先駆けて第3世代の技術も実証. 低温干渉計技術,地下サイト

2010年代後半には、 重力波天文学が幕を開けているだろう! 終わり